



# OFICINA ESPAÑOLA DE PATENTES Y MARCAS

**ESPAÑA** 



11) Número de publicación: 2 465 165

51 Int. Cl.:

C12N 15/85 (2006.01) A61K 39/21 (2006.01)

(12)

### TRADUCCIÓN DE PATENTE EUROPEA

**T3** 

(96) Fecha de presentación y número de la solicitud europea: 08.11.2006 E 06820870 (1)
 (97) Fecha y número de publicación de la concesión europea: 05.03.2014 EP 1945777

(54) Título: Sistema de expresión que incorpora una secuencia promotora de la cápsida como potenciador de un promotor de citomegalovirus

(30) Prioridad:

08.11.2005 ZA 200509036

(45) Fecha de publicación y mención en BOPI de la traducción de la patente: **05.06.2014** 

(73) Titular/es:

SOUTH AFRICAN MEDICAL RESEARCH COUNCIL (50.0%) Francie van Zijl Drive Parow 7925 Cape Town, ZA y UNIVERSITY OF CAPE TOWN (50.0%)

(72) Inventor/es:

RYBICKI, EDWARD PETER y TANZER, FIONA LESLEY

(74) Agente/Representante:

DE ELZABURU MÁRQUEZ, Alberto

#### **DESCRIPCIÓN**

Sistema de expresión que incorpora una secuencia promotora de la cápsida como potenciador de un promotor de citomegalovirus

#### Antecedentes de la invención

5 La invención describe un nuevo elemento de expresión potenciador/promotor compuesto de mamífero.

El elemento potenciador/promotor inmediato/temprano de citomegalovirus (Pcmv) es actualmente el elemento promotor de mamífero más fuerte que se conoce, y como tal pone un límite más alto a la expresión de transgenes en los sistemas *in vitro* e *in vivo*.

Por lo tanto, sería deseable poder incluir otro elemento más en un vector que permita alcanzar una mayor expresión del transgén.

#### Compendio de la invención

De acuerdo con una primera realización de la invención, se da a conocer un procedimiento *in vitro* para la estimulación de la expresión de un transgén en una célula hospedadora, en donde el procedimiento incluye las etapas de:

15 insertar una secuencia de un elemento promotor de la cápsida (Pcap) o de un complemento inverso de la misma (PcapR) que es al menos idéntica al 80% a alguna de las secuencias seleccionadas entre las SEQ ID n.º 1, 2, 3, 4, 5, 6, 7, 8, 9, 10, 11, 12, 13, 14, 15, 16, 17, 18, 21, 22 y 24 en un casete de expresión de mamífero por delante (en 5') de un promotor inmediato/temprano de citomegalovirus (Pcmv) o de un elemento promotor del SV40;

insertar el transgén en el casete de expresión por detrás (en 3') del elemento promotor de citomegalovirus o del 20 elemento promotor del SV40;

insertar el casete de expresión en la célula hospedadora; y

hacer que se exprese el transgén.

Se puede introducir un intrón de citomegalovirus por detrás (en 3') del Pcmv y se puede introducir un sitio de poliadenilación de la hormona de crecimiento bovina (poliA de la bgh) detrás (en 3') del transgén.

25 El transgén se expresa típicamente en más cantidad que cuando se expresa en el casete de expresión sin las secuencias Pcap o PcapR.

El elemento promotor de la cápsida o el complemento inverso del mismo puede ser de un circovirus tal como el circovirus porcino de tipo 1 (PCV-1), el circovirus porcino de tipo 2 (PCV-2), el virus de la enfermedad del pico y las plumas (BFDV), el circovirus del canario, el circovirus de los colúmbidos, el circovirus del pato, el circovirus del pinzón, el circovirus del ganso y el circovirus de la gaviota, o un elemento equivalente de un parvovirus o de un anelovirus.

El elemento promotor de la cápsida o un complemento inverso del mismo se puede localizar adyacente al promotor inmediato/temprano de citomegalovirus, o alternativamente se puede localizar hasta 1100 pares de bases por delante (en 5') del promotor inmediato/temprano de citomegalovirus.

35 La célula hospedadora puede ser una línea celular de mamífero para la expresión del transgén in vitro.

De acuerdo con una segunda realización de la invención, se da a conocer un casete de expresión de mamífero que incluye:

un elemento promotor inmediato/temprano de citomegalovirus (Pcmv) o un elemento promotor del SV40; y

una secuencia del elemento promotor de la cápsida (Pcap) o un complemento inverso (PcapR) de la misma localizada por delante (en 5') del elemento promotor de citomegalovirus o de un elemento promotor del SV40, en donde la secuencia de Pcap o de PcapR es al menos idéntica al 80% a alguna de las secuencias seleccionadas de SEQ ID n.º 1-18, 21, 22 y 24.

Se puede introducir un transgén en el casete de expresión por detrás (en 3') del promotor de CMV.

El casete de expresión puede ser capaz de expresar el transgén en más cantidad que un casete de expresión similar que no incluye las secuencias de Pcap ni de PcapR.

El elemento promotor de la cápsida o el complemento inverso del mismo puede ser de un circovirus tal como el circovirus porcino de tipo 1 (PCV-1), el circovirus porcino de tipo 2 (PCV-2), el virus del pico y las plumas (BFDV), el circovirus del canario, el circovirus de los colúmbidos, el circovirus del pato, el circovirus del pinzón, el circovirus del ganso y el circovirus de la gaviota, o un elemento equivalente de un parvovirus tal como el parvovirus canino o un anelovirus tal como el virus torque teno y el minivirus torque teno.

La secuencia de Pcap o PcapR puede ser al menos idéntica al 80%, más preferiblemente idéntica al menos al 90% e incluso más preferiblemente al menos al 95%, e incluso más preferiblemente idéntica al 100%, a alguna de las SEQ ID n.º 1 a 18, 21, 22 o 24.

De acuerdo con otro aspecto de la invención, se da a conocer un vector que incluye el casete de expresión que se 10 describe más arriba.

El vector o casete de expresión se puede introducir en una célula hospedadora, que puede ser una línea celular de mamífero para la expresión *in vitro* del transgén o una célula de un organismo hospedador de mamífero para la expresión *in vivo* del transgén.

De acuerdo con otro aspecto de la invención, se da a conocer una célula hospedadora transformada con el vector o el casete de expresión que se describe más arriba.

De acuerdo con otra realización de la invención, se da a conocer una vacuna de ADN que incluye un vector o casete de expresión que se describe más arriba.

De acuerdo con otra realización de la invención, se da a conocer una composición farmacéutica que incluye el vector o casete de expresión que se describe más arriba.

20 De acuerdo con otra realización de la invención, se da a conocer el uso de un vector de ADN según se describe más arriba en un procedimiento para la fabricación de un medicamento para ser usado en un procedimiento para el tratamiento de una enfermedad.

La composición farmacéutica o vacuna de ADN se puede utilizar para el tratamiento terapéutico o preventivo de una enfermedad o infección, tal como el VIH y/o el sida. Así pues, se da a conocer una composición farmacéutica según se describe en la presente memoria para ser usada en el tratamiento del VIH o del sida.

#### Breve descripción de los dibujos

Figura 1: clonación de las construcciones iniciales del vector que contienen PCV-1 y de las construcciones que contienen Pcap y PcapR:

- (a) Descripción del genoma circular nativo del circovirus porcino de tipo 1 (PCV-1); genoma linealizado del PCV-1 con el gen de la cápsida, con la adición de los sitios de restricción de Spe I en los extremos; pTHRep(R)grttnC, en donde el genoma linealizado de PCV-1 está clonado inmediatamente delante, en 5', del Pcmv (CMV I/E Pr);
  - (b) Descripción lineal de las regiones relevantes de los plásmidos pTHRepRgrttnC, pTHPcapgrttnC y pTHPcapRgrttnC, que ilustra las posiciones y orientaciones relativas, con respecto a Pcmv y grttnC, que tiene la secuencia clonada de 184 pb que contiene el Pcap.
- Figura 2: demostración de que los vectores que contienen PCV-1 no se replican en las células de mamífero: cuantificación por PCR en tiempo real del plásmido digerido con DpnI e intacto extraído de las células 293 de 1 a 3 días posteriores a la transfección (dpt):
- (a) Células 293 transfectadas con pTHgrttnC, pTHRepgrttnC o pTHRepRgrttnC, con o sin la adición del plásmido pcDNARep (expresa las proteínas Rep y Rep' de PCV-1 gracias al Pcmv y es posible que transreplique los ADN
   40 circulares que contienen el origen de replicación de PCV-1, según pTHRepgrttnC y pTHRepRgrttnC). El ADN se extrajo de las células transfectadas 48 h después de la transfección. Los resultados demuestran que los plásmidos que contienen el PCV-1 ni se replican ni se pueden transreplicar a partir de pcDNARep.
  - (b) Células 293 transfectadas con pCl y pClPCV (los plásmidos originales se recibieron de LSBC, y se presupone que son capaces de replicarse). Los resultados demuestran que al igual que el plásmido parental no replicativo, pCl, el plásmido que contiene el PCV-1, el pClPCV, no se replica en las células 293.

Figura 3: Demostración de que Prep estimula la expresión desde Pcmv, y que no interviene la replicación del plásmido:

La deleción del intrón del gen *rep* estimula la expresión a lo largo de pTHgrttnC, a pesar de que se ha perdido la capacidad para hacer que la proteína Rep completa reprima a Prep. La deleción del sitio de fijación de Rep/Rep' en

Prep y la mayor parte del gen *rep* en pTH∆RepgrttnC todavía permite cierta estimulación de la expresión a lo largo de pTHgrttnC, ya que el Prep residual aún codifica todos los sitios de fijación de los factores de transcripción del hospedador en Prep.

Figura 4: demostración de que la incorporación de la secuencia de Pcap o bien de la secuencia de PcapR sola en el pTHgrttnC genera un nivel de expresión similar del antígeno p24 al obtenido con la incorporación de todo el genoma de PCV-1 en el pTHgrttnC (a saber, pTHRepRgrttnC).

La adición del fragmento de 184 pb (PcapR) en la orientación opuesta solo en pTHgrttnC (para dar el pTHPcapRgrttnC) estimula la expresión en una cantidad parecida.

Figura 5: duración de la respuesta de LTC sensibilizados contra el epítopo RT CD8 de grttnC durante 90 días 10 mediante vectores que contienen la secuencia de PCV-1.

Las ratonas BALB/c hembra (5 animales por grupo) se inocularon por vía intramuscular con dosis de 2 x 100 μg, separadas por 28 días, de pTHgrttnC, pTHRepgrttnC, pTHRepRgrttnC, o del vector vacío pTHRepR (no se muestra). Las ratonas se sacrificaron a los 12, 40, 68 y 90 días de la segunda inoculación de ADN, y se recogieron los esplenocitos para el ensayo ELISPOT del IFN-γ. Se sustrajo el promedio de los puntos de ruido de fondo para dar valores netos /10<sup>8</sup> esplenocitos.

Figura 6: respuesta de LTC contra el epítopo RT CD8 de grttnC. Respuesta a la dosis de sensibilización con el ADN, con y sin una inyección de refuerzo con el MVA.

Las ratonas BALB/c hembra (5 animales por grupo) se inocularon por vía intramuscular con dosis de 2 x 100 μg o 2 x 10 μg, separadas por 28 días, de pTHgrttnC, pTHRepgrttnC, pTHRepRgrttnC, o del vector vacío pTHRepR (no se muestra). Las ratonas se sacrificaron 12 días después de la segunda inoculación de ADN, y se recogieron los esplenocitos para el ensayo ELISPOT del IFN-γ. Se les dio una inyección de refuerzo a otros grupos de ratonas, inoculadas según se describe más arriba con 10<sup>4</sup> ufp de SAABIMVA-C (r.grttnC clonado en MVA) 56 días después de la segunda inyección de refuerzo con ADN. Las ratonas se sacrificaron a los 12 días de la inyección de refuerzo con el MVA, y se recogieron los esplenocitos para el ensayo ELISPOT del IFN-γ. Se sustrajo el promedio del ruido de fondo para dar valores netos/10<sup>6</sup> esplenocitos.

Figura 7: respuesta de LTC contra el epítopo RT CD8 de grttnC. Se comparan las dosis de sensibilización con ADN entre pTHgrttnC, pTHRepRgrttnC, pTHPcapgrttnC y pTHPcapRgrttnC. Las ratonas BALB/c hembra (5 animales por grupo) se inocularon por vía intramuscular con dosis de 2 x 100 μg, separadas por 28 días, de pTHgrttnC, pTHRepRgrttnC, pTHPcapgrttnC o pTHPcapRgrttnC. Las ratonas se sacrificaron a los 12 días de la segunda inoculación de ADN, y se recogieron los esplenocitos para el ensayo ELISPOT del IFN-γ. Se sustrajo el promedio del ruido de fondo para dar valores netos/10<sup>6</sup> esplenocitos.

Figura 8: secuencia nucleotídica del fragmento Pcap que muestra los sitios de fijación a los factores de transcripción de la célula hospedadora.

Se muestran 190 pb (SEQ ID n.º 27), aunque, después de la clonación en el sitio *Spe* I del vector, esencialmente, el fragmento se puede considerar que es de 184 pb (SEQ ID n.º 1). La secuencia de Pcap se muestra en la misma orientación que la dirección de la transcripción del gen de la cápsida, Obsérvese que, como resultado, la secuencia mostrada más adelante es el complemento inverso de la convención publicada que describe la secuencia del ADN de circovirus en el sentido del virión (+).

La región central de Pcap (102 pb) según se identificó en Mankertz et al, 2004, se muestra subrayada.

40 Los sitios de clonación Spe I se muestran en cursiva (ACTAGT).

Nucleótido 44 = A se muestra en negrita = nucleótido variante (transición de C a T en la hebra con sentido) respecto a las secuencias de PCV-1 publicadas.

Según se describe en Mankertz et al, 2004,

Están resaltados los nucleótidos 47 a 59 de la secuencia = motivo para la fijación al factor de transcripción AP3 de la 45 célula hospedadora.

Están resaltados los nucleótidos 60 a 65 de la secuencia = motivo para la fijación al factor de transcripción Sp1 de la célula hospedadora .

Están resaltados los nucleótidos 139 a 144 de la secuencia = motivo para la fijación al factor de transcripción AP2 de la célula hospedador.

Según se identifican con la herramienta en línea de búsqueda en las bases de datos TFSEARCH ver. 1.3;

Están en negrita los nucleótidos 28 a 34 de la secuencia = motivo para la fijación al factor de transcripción cdxA de la célula hospedadora.

Están en negrita los nucleótidos 48 a 56 de la secuencia = motivo para la fijación al factor de transcripción STATx de 5 la célula hospedadora.

Están en negrita los nucleótidos 73 a 80 de la secuencia = motivo para la fijación al factor de transcripción CREB de la célula hospedadora.

Están en negrita los nucleótidos 140 a 152 de la secuencia = motivo para la fijación al factor de transcripción c-Ets de la célula hospedadora.

10 Están en negrita los nucleótidos 145 a 154 de la secuencia = motivo para la fijación al factor de transcripción HSF2 de la célula hospedadora.

Figura 9: secuencia nucleotídica del fragmento PcapR que muestra los sitios de fijación a los factores de transcripción de la célula hospedadora.

Se muestran 190 pb (SEQ ID n.º 28), aunque, tras la clonación en el sitio *Spe* I del vector, esencialmente, el fragmento se puede considerar que era de 184 pb (SEQ ID n.º 2). La secuencia de PcapR se muestra en la orientación opuesta a la dirección de la transcripción del gen de la cápsida. Obsérvese que, como resultado, la secuencia mostrada más adelante describe la secuencia del ADN con sentido (+) del virión del circovirus.

Los sitios de clonación Spe I se muestran en cursiva (ACTAGT).

Nucleótido 147 = T se muestra en negrita = nucleótido variante (transición de C a T en la hebra sentido) respecto a 20 las secuencias de PCV-1 publicadas.

Tal y como se identifican con la herramienta de búsqueda en línea en las bases de datos TFSEARCH ver. 1.3;

Están en negrita los nucleótidos 37 a 46 de la secuencia = motivo para la fijación al factor de transcripción HSF1/HSF2 de la célula hospedadora.

Están en negrita los nucleótidos 59 a 72 de la secuencia = motivo para la fijación al factor de transcripción c/EBPb de la célula hospedadora.

Están en negrita los nucleótidos 91 a 100 de la secuencia = motivo para la fijación al factor de transcripción GATA-1 de la célula hospedadora.

Están en negrita los nucleótidos 125 a 130 de la secuencia = motivo para la fijación al factor de transcripción AP2 de la célula hospedadora.

30 Están en negrita los nucleótidos 145 a 154 de la secuencia = motivo para la fijación al factor de transcripción HSF2 de la célula hospedadora.

Están resaltados los nucleótidos 120 a 129 y 149 a 158 = elemento tardío conservado (CLE, por su nombre en inglés) según se identifica en Velten et al., 2005.

Figura 10: secuencia de ADN de grttnC (SEQ ID n.º 19).

35 Sitio de *Hind* III (están en negrita y resaltados los nucleótidos 1 a 6) y el sitio de *Xba* I (están en negrita y resaltados los nucleótidos 3682 a 3687) = sitios para la clonación de la secuencia de grttnC en el pTH.

Figura 11: secuencia linealizada del ADN de PCV-1, tal y como está clonada en pTHgrttnC para dar pTHRepgrttnC (SEQ ID n.º 21 y 29).

Sitios de *Spe* I terminales (negrita) utilizados para clonar el genoma linealizado de PCV-1 en el sitio de restricción de 40 *Spe* I inmediatamente adyacente en 5' al promotor de CMV en el pTHgrttnC.

Figura 12: secuencia linealizada del ADN de PCV-1, tal y como se clonó (complemento inverso) en el pTHgrttnC para dar el pTHRepRgrttnC (SEQ ID n.º 22 y 30).

Sitios de Spe I terminales (negrita) utilizados para clonar el genoma linealizado de PCV-1 en el sitio de restricción de Spe I inmediatamente adyacente en 5' al promotor de CMV en el pTHgrttnC.

Figura 13: secuencia linealizada de pTH (SEQ ID n.º 20).

Se muestra el sitio de *Spe* I (los nucleótidos 751 a 756 están en negrita, subrayados y resaltados) inmediatamente en 5' a la región central del elemento promotor/potenciador inmediato/temprano de CMV del pTH. Es el sitio de inserción utilizado para el genoma linealizado de PCV-1 (en cualquier orientación) y para Pcap, y para PcapR.

5 Se muestran el sitio de *Hind* III (los nucleótidos 2300 a 2315 están en negrita y resaltados) y el sitio de *Xba* I (los nucleótidos 2394 a 2399 están en negrita y resaltados) = sitios de clonación para la inserción de grttnC.

Figura 14: secuencia de PCV-1 que muestra Prep y el gen rep sin el intrón (sólo codifica la proteína Rep') (SEQ ID n.º 23).

Según se describe en Mankertz et al., 2004.

10 Están resaltados los nucleótidos 59 a 80 de la secuencia = motivo para la fijación al factor de transcripción AP3 de la célula hospedadora.

Están resaltados los nucleótidos 120 a 125 de la secuencia = motivo para la fijación al factor de transcripción Sp1 de la célula hospedadora.

Están resaltados los nucleótidos 187 a 192 de la secuencia = motivo para la fijación al factor de transcripción AP4 de 15 la célula hospedadora.

Están resaltados los nucleótidos 153 a 164 de la secuencia = motivo USF/MLTF de la célula hospedadora.

Están resaltados los nucleótidos 166 a 172 de la secuencia = caja TATA.

Están resaltados los nucleótidos 174 a 180 de la secuencia = motivo ISRE.

Los motivos de fijación H1, H2, H3 y H4 de Rep/Rep' se muestran subrayados.

20 Se muestran en negrita el ATG y el TGA (truncado) del marco abierto de lectura de rep'.

Figura 15: secuencia de PCV-1 que muestra Prep con deleción de los sitios de fijación a la proteína Rep/Rep' y el gen *rep* con un truncamiento importante en 5' (lo que queda no es codificante) (SEQ ID n.º 24).

Secuencia de PCV-1 que muestra la deleción de 602 pb, que conduce a la deleción inclusiva de los sitios de fijación H2, H3 y H4 de Rep/Rep' en Prep y deleción de todos los nucleótidos del extremo en 3' del gen *rep*, excepto 133 nt.

25 II = lugar donde se han delecionado 602 pb.

Según se describe en Mankertz et al., 2004.

Están resaltados los nucleótidos 69 a 80 de la secuencia = motivo para la fijación del factor de transcripción AP3 de la célula hospedadora.

Están resaltados los nucleótidos 120 a 125 de la secuencia = motivo para la fijación del factor de transcripción Sp1 de la célula hospedadora.

Están resaltados los nucleótidos 187 a 192 de la secuencia = motivo para la fijación del factor de transcripción AP4 de la célula hospedadora.

Están resaltados los nucleótidos 153 a 164 de la secuencia = motivo USF/MLTF de la célula hospedadora.

Están resaltados los nucleótidos 166 a 172 de la secuencia = caja TATA.

35 Están resaltados los nucleótidos 174 a 180 de la secuencia = motivo ISRE.

El motivo de fijación H1 residual de Rep/Rep' se muestra subrayado.

Figura 16: (a) alineamiento de las secuencias seleccionadas de ADN de circovirus equivalentes a la región de PcapR de PCV-1.

(b) Complemento inverso de las secuencias seleccionadas de ADN de circovirus equivalentes a la secuencia de 40 Pcap de PCV-1.

Circovirus del canario: ACCESO DQ339095 (SEQ ID n.º 3 y 4);

Circovirus del ganso: ACCESO NC\_003054 (SEQ ID n.º 5 y 6);

Circovirus del pato: ACCESO AJ964962 (SEQ ID n.º 7 y 8);

Aislado zj1 del circovirus de los colúmbidos: ACCESO DQ090945 (SEQ ID n.º 9 y 10);

Circovirus de la gaviota: ACCESO NC\_008521 (SEQ ID n.º 11 y 12);

5 Circovirus del pinzón: ACCESO NC\_008522 (SEQ ID n.º 13 y 14);

Aislado AFG3-ZA del virus de la enfermedad del pico y las plumas: ACCESO AY450443 (SEQ ID n.º 15 y 16);

Cepa 375 del circovirus del cerdo de tipo 2: ACCESO AY256460 (SEQ ID n.º 17 y 18).

Figura 17: posibles sitios de fijación de factores de transcripción en las regiones de Pcap de los circovirus de la figura 16.

#### 10 Descripción detallada de la invención

La invención da a conocer un procedimiento *in vitro* para mejorar la expresión de un transgén en una célula hospedadora, que incluye las etapas de insertar un elemento de control transcripcional vírico en un casete de expresión de mamífero por delante (en 5') de un promotor principal para un vector; insertar el transgén en el casete de expresión por detrás (en 3') del promotor principal; insertar un vector que contiene el casete de expresión en la célula hospedadora; y hacer que se exprese el transgén. Como resultado, el transgén se expresa típicamente en mayor cantidad que cuando se expresa desde un vector que contiene el casete de expresión sin el elemento de control transcripcional.

El elemento de control transcripcional es un elemento promotor de la cápsida (Pcap) de un circovirus, tal como el circovirus porcino de tipo 1 (PCV-1), el circovirus porcino de tipo 2 (PCV-2), el virus de la enfermedad del pico y las plumas (BFDV), el circovirus del canario, el circovirus de los colúmbidos, el circovirus del pato, el circovirus del pinzón, el circovirus del ganso y el circovirus de la gaviota, o un elemento equivalente de un parvovirus o anelovirus, o una secuencia que comprende el complemento inverso del elemento promotor de la cápsida (PcapR). El promotor es generalmente una región potenciadora/promotora inmediata/temprana de citomegalovirus (Pcmv) y opcionalmente su secuencia del intrón A de CMV cadena abajo (3'), un elemento promotor del SV40 u otro elemento promotor adecuado.

Los ejemplos de células hospedadoras adecuadas son una línea de células de mamífero para la expresión del transgén *in vitro*.

El vector que se describe en la presente memoria tiene varios usos, entre ellos la producción de una composición farmacéutica o vacuna para tratar de forma preventiva o terapéutica a un humano o a un animal con una infección o enfermedad, tal como el VIH/sida.

En los ejemplos que vienen más adelante, un fragmento de ADN de 184 pb (figura 8; SEQ ID n.º 1) que contiene un elemento principal de 102 pb del promotor de la cápsida (Pcap) del circovirus del cerdo de tipo 1 (PCV-1), o el mismo fragmento de 184 pb clonado en la orientación inversa (PcapR) (figura 9; SEQ ID n.º 2), se insertó inmediatamente adyacente y en 5' a la región central de la región potenciadora/promotora inmediata/temprana de citomegalovirus (Pcmv) y su secuencia del intrón A de CMV cadena abajo (3') en un vector de expresión de mamífero (el fragmento era de 190 pb cuando estaba flanqueado por los sitios de restricción sin cortar (SEQ ID n.º 27)). Posteriormente se clonó un transgén en el vector. El plásmido purificado que contenía los elementos descritos más arriba se transfectó en una línea de células de mamífero para la expresión *in vitro* del transgén, o bien se inoculó en un organismo hospedador mamífero como un vacunógeno o como un agente genoterápico. El híbrido Pcap-Pcmv o PcapR-Pcmv estimuló de 2 a 3 veces la expresión *in vitro* de un transgén insertado en 3' del elemento híbrido Pcap-Pcmv o en 3' del elemento híbrido PcapR-Pcmv.

El elemento promotor Pcap de PCV-1 que se cita más arriba se había mapeado previamente mediante un sistema de expresión de la luciferasa (Mankertz et al.), pero hasta ahora no se ha contemplado que sea de utilidad en las aplicaciones prácticas de la expresión del transgén, ya que por sí mismo no es un promotor fuerte. Además, el fragmento de 184 pb completo incluye otros sitios de fijación de factores de transcripción del hospedador que no se habían observado previamente en Mankertz et al. Tampoco no se había contemplado previamente que la secuencia orientada en sentido inverso (PcapR) también conlleva una actividad estimulante de la expresión del transgén, ni que en la secuencia de PcapR se encuentran codificados otros sitios de fijación de factores de transcripción del hospedador. El elemento Pcmv se ha combinado previamente con diferentes elementos donante/aceptor del intrón cadena abajo (en 3'), que aumentan el nivel de expresión del transgén al mejorar la eficacia del procesamiento del ARNm transcrito del transgén (Barouch et al., 2005). El vector pTH es un vector que consigue expresar genes en gran cantidad y que contiene una secuencia intrónica residente detrás del promotor de CMV (figura 1A). Sin

embargo, la adición de un elemento Pcap o de un elemento PcapR en el plásmido pTHgrttnC delante del promotor de CMV de pTH (figura 1B) hace que aumente aún más el nivel de expresión de grttnC muy por encima de lo que contribuye la secuencia intrónica residente en el pTHgrttnC.

Se contempla que los elementos Pcap o PcapR conservarían la estimulación de la actividad cuando se clonan hasta a 1100 pb por delante (en 5') del elemento Pcmv (esto es, la distancia desde el elemento Pcap al Pcmv cuando Pcap está presente en la secuencia del RepR original del pTHRepRgrttnC). También se contempla que la invención funcionará con los correspondientes elementos Pcap o PcapR de otros circovirus (figuras 16 y 17), tales como el circovirus del cerdo de tipo 2 (PCV-2) (SEQ ID n.º 17 y 18), el virus de la enfermedad del pico y las plumas (BFDV) (SEQ ID n.º 15 y 16), el circovirus del canario (SEQ ID n.º 3 y 4), el circovirus de los colúmbidos (SEQ ID n.º 9 y 10), el circovirus del pato (SEQ ID n.º 7 y 8), el circovirus del pinzón (SEQ ID n.º 13 y 14), el circovirus del ganso (SEQ ID n.º 5 y 6) y el circovirus de la gaviota (SEQ ID n.º 11 y 12), o parvovirus tales como el parvovirus del perro, o anelovirus, tales como el virus torque teno o el minivirus torque teno, ya que estos géneros de virus pertenecen a la misma familia que los circovirus.

La presente invención se describe adicionalmente con los ejemplos que vienen a continuación. Tales ejemplos, sin embargo, no se deben considerar limitantes, de ninguna manera, ni del espíritu ni del alcance de la invención.

#### **Ejemplos**

Clonación y expresión de PCV:

Para facilitar las comparaciones con la construcción de la vacuna de ADN actual de los solicitantes, el pTHgrttnC (Burgers et al.; figuras 10 y 13; SEQ ID n.º 19 y 20), un genoma de PCV-1 linealizado (figura 11; SEQ ID n.º 21 y 29) procedente del plásmido pCIPCV 9 (obtenido de Large Scale Biology Corporation; EE.UU; y descrito en la publicación de solicitud de patente de los EE.UU. n.º 2003/0143741, se subclonó en el pTHgrttnC para que el genoma quedara colocado inmediatamente en 5' del promotor/potenciador inmediato/temprano de CMV (Pcmv) del pTHgrttnC. El genoma del PCV se clonó en ambas orientaciones (figura 1), lo que da el pTHRepgrttnC, en donde el gen asociado a la replicación del PCV (*rep*) se encuentra en la misma orientación que el inserto del poligén grttnC (figura 11; SEQ ID n.º 21 y 29) y el pTHRepRgrttnC, en donde *rep* se encuentra en la orientación opuesta a grttnC (figura 12; SEQ ID n.º 22 y 30).

En las células HEK293 se demostró que, en comparación con pTHgrttnC, tanto pTHRepgrttnC como pTHRepRgrttnC incrementaban el nivel de expresión del antígeno, en donde el pTHRepRgrttnC muestra la expresión más alta. La expresión de grttnC se ensayó por ELISA de p24 y se correlacionó con la cantidad de 30 plásmido presente en las muestras de células (analizado por PCR en tiempo real).

Se observó que la orientación del genoma de PCV insertado en pTHgrttnC afectaba tanto al nivel como al perfil de la expresión de grttnC obtenidos con el tiempo, y esto se analizó más en detalle.

El incremento de la expresión del vector de PCV se debe a los efectos del promotor y no a la replicación del vector:

Las células HEK293 (de la American Type Culture Collection [número de catálogo de la ATCC CRC-1573]) se transfectaron con el ADN plasmídico, y se recogieron 1, 2 y 3 días después de la transfección. Tras el lavado de las células se extrajo todo el ADN y se cuantificó por PCR en tiempo real la cantidad de plásmido presente en 20 ng del extracto, mediante la incorporación de Sybr-Green y de cebadores oligonucleotídicos específicos del vector. Las secuencias de los cebadores utilizados se fijaron a los plásmidos pTH (pTHgrttnC), pCl (Promega) y pcDNA3.1/Zeo (Invitrogen) – pTH17F; 5'-CCTAACTACGGCTACAC-3' (SEQ ID n.º 25); pTH18R; 5'-CGTAGTTATCTACACGAC-40 3' (SEQ ID n.º 26). Las secuencias cebadoras se obtuvieron de Jo van Harmelen, IIDMM, Sudáfrica. Adicionalmente, las alícuotas de ADN total se digirieron durante una noche con la enzima de restricción Dpn I (de Roche) que, debido

las alicuotas de ADN total se digirieron durante una noche con la enzima de restriccion Dpn I (de Roche) que, debido a su especificidad a la metilación, digiere sólo el ADN plasmídico transfectado que se produce en la bacteria (ADN de entrada), pero ningún otro ADN que pueda haberse replicado en las células de mamífero (p. ej., HEK293). El plásmido digerido (en el ADN total) también se cuantificó por PCR como antes. Se utilizaron cantidades equivalentes del ADN total digerido y sin digerir (replicable se refiere en la presente memoria a la capacidad del plásmido para replicarse en las células de mamífero, en vez de en las células bacterianas).

Se encontró que la expresión de los vectores con PCV mejoraba con respecto a los pTH (figura 13; SEQ ID n.º 20) y se demostró que se debía a que los promotores de PVC actúan en combinación con el Pcmv del pTH, y que no se debía a la replicación del vector (figura 2, figura 3). Así pues, en el pTHRepgrttnC, el promotor del gen rep (Prep) actúa en combinacón con el Pcmv, y en el pTHRepRgrttnC, el promotor del gen de la cápsida de PCV (Pcap) actúa con rl Pcmv.

Los experimentos que lo demuestran incluían:

- La demostración (mediante digestión de Dpn I/PCR en tiempo real) de que no se produjo ninguna

replicación plasmídica en las células transfectadas. Así pues, la proporción de plásmido extraído de las células transfectadas descendió con el tiempo a la misma velocidad que el plásmido original que no contenía el PCV y no se formó ningún plásmido nuevo en las células transfectadas durante ese tiempo. Esto se determinó para las dos construcciones que llevaban un PCV de Large Scale Biology Corporation y de los solicitantes (figura 2).

- La deleción del intrón de rep de PCV-1 (figura 14; SEQ ID n.º 23) de pTHRepgrttnC dio lugar a un incremento de la expresión de grttnC (figura 3). Esta deleción impide la formación de una de las proteínas Rep requeridas para la replicación. La misma proteína actúa para reprimir Prep y su ausencia permite aliviar la represión de Prep, con el resultante aumento de la acumulación del GrttnC que se expresa. Así pues, el incremento de la expresión en el pTHRepGrttnC es consecuencia de la actividad de Prep y no de que se incremente por replicación el número de copias del plásmido. La deleción de los sitios de fijación de la proteína Rep/Rep' en Prep y la deleción de la mayor parte del gen rep desde el extremo en 5', pero que aún deja sitios de fijación de factores de transcripción del hospedador en Prep (figura 15; SEQ ID n.º 24), produce un incremento modesto de la expresión en comparación con pTH, lo que además indica que la fuente del aumento de la expresión del transgén en los plásmidos que contienen la secuencia de PCV-1 es por la acción de los elementos promotores, y no por la replicación del plásmido inducida por el elemento de PCV-1 (figura 3).
- La adición únicamente de la secuencia de Pcap de 184 pb (SEQ ID n.º 1) en el pTHgrttnC mejoró la expresión de grttnC al mismo nivel que la adición de todo el genoma de PCV en la orientación de RepR.
   Inesperadamente, la adición de la secuencia de Pcap en la orientación inversa (PcapR) (SEQ ID n.º 2) también incrementó el nivel de expresión de grttnC por encima de la del plásmido original, pTHgrttnC (figura 4).

Comparación de la inmunogenia murina entre pTH y los vectores que llevan el PVC:

5

10

15

probados.

Las respuestas de LTC en las ratonas BALB/c hembra desencadenadas por el prototipo de clones que llevan el PCV, pTHRepgrttnC y pTHRepRgrttnC, se compararon con las desencadenadas por pTHgrttnC.

Los ensayos ELISPOT del IFN-γ mostraron que las tres construcciones generaron respuestas de LTC contra 10 de los 15 epítopos de GrttnC CD4 y CD8 analizados. Ya que el epítopo RT CD8 de GrttnC es inmunodominante en las ratonas Balb/c, este epítopo se eligió como marcador para la comparación de la inmunogenia entre las construcciones que llevan PCV y el pTHgrttnC.

- 30 La longevidad de la respuesta de LTC desencadenada por 2 inoculaciones de ADN administradas por vía intramuscular (i.m.) de 100 μg cada una, separadas por 28 días, se midió durante 90 días tras la segunda inoculación de ADN. Se analizaron cinco ratonas por grupo de tratamiento. Respuestas de LTC en el mismo intervalo de error fueron desencadenadas por pTHgrttnC y pTHRepRgrttnC, mientras que pTHRepgrttnC desencadenó una mejor respuesta (figura 5). Se observó que el nivel de respuesta de los LTC para pTHgrttnC y pTHRepRgrttnC descendió la misma magnitud durante el periodo de pruebas de 90 días. En cambio, la respuesta de LTC contra pTHRepgrttnC fue el doble que la de las otras construcciones a los 12 días de la sensibilización, y cayó por debajo del nivel de respuesta observado para las construcciones de pTH y pTHRepR a los 40 días, pero luego ascendió tanto que a los 90 días de la inoculación, la respuesta de LTC contra el pTHRepgrttnC fue de nuevo dos veces la observada contra pTHgrttnC y pTHRepRgrttnC. Este efecto era perceptible para la mayoría de los epítopos
- Los vectores que contienen el PCV se encontró que eran mejores que el pTH a una dosis 10 veces menor de sensibilización con ADN (2 x dosis de sensibilización, separadas por 28 días, de 10 µg por vía i.m., 5 ratonas BALB/c hembra por tratamiento). En este nivel, tanto pTHRepgrttnC como pTHRepRgrttnC desencadenaron respuestas de LTC significativamente mejores de lo que hizo el pTHgrttnC con el nivel de dosis de 10 µg o de 100 µg, en donde el pTHRepgrttnC desencadenó la mejor respuesta (figura 6).

El efecto de administrar una inyección de refuerzo a las ratonas BALB/c se analizó con una dosis baja (10<sup>4</sup> ufp) de SAAVIMVA-C administrada i.m. 56 días después de la segunda de las dos inoculaciones i.m. de ADN de 10 μg o bien de 100 μg por dosis, separadas por 28 días. La respuesta con refuerzo contra el epítopo RT CD8 en las ratonas sensibilizadas con 2 x 10 μg de pTHRepgrttnC o bien de pTHRepRgrttnC fue de más de dos veces que la desencadenada en las ratonas sensibilizadas con 2 x 10 μg de pTHgrttnC (figura 6). Además, la respuesta con refuerzo tras la sensibilización al nivel de 10 μg con pTHRepgrttnC fue casi tan grande como la respuesta con refuerzo tras la sensibilización con 2 x 100 μg de pTHgrttnC. La respuesta con refuerzo de las ratonas sensibilizadas con pTHRepRgrttnC fue similar tanto en el nivel de 10 μg como de 100 μg, y fue aproximadamente de 0,75 veces la desencadenada después de la sensibilización con 2 x 100 μg de pTHgrttnC o bien de pTHRepRgrttnC (figura 6).

55 Es decir, la sensibilización con una cantidad de 10 µg de un vector que lleva el PCV produjo una respuesta casi tan

buena, después del refuerzo con 10<sup>4</sup> ufp de SAAVIMVA-C, que la sensibilización con pTHgrttnC a diez veces la dosis de sensibilización.

Sin embargo, en los experimentos posteriores se observó que las secuencias de Prep/gen *rep* en los plásmidos pTHRep tendían a ser inestables, y por lo tanto todo el trabajo posterior se concentró en la construcción estable pTHRepR y sus derivados Pcap y PcapR. La secuencia de 184 pb que contiene el Pcap cortada con Spe I (figura 8) se sublclonó en el pTHgrttnC para que el fragmento se posicione inmediatamente en 5' del promotor/potenciador inmediato/temprano de CMV (Pcmv) en el pTHgrttnC, para dar el pTHPcapgrttnC. La secuencia de 184 pb que contiene el Pcap cortada con Spe I (figura 9) se subclonó en el pTHgrttnC para que el fragmento se posicione inmediatamente en 5' del promotor/potenciador inmediato/temprano de CMV (Pcmv) en el pTHgrttnC, para dar el pTHPcapRgrttnC.

Se encontró que los vectores que llevaban Pcap y PcapR eran mejores que el pTH para sensibilizar una respuesta de LTC contra el epítopo RT inmunodominante de GrttnC en las ratonas BALB/c (2 x dosis de sensibilización, separadas por 28 días, de 100 µg por vía i.m., 5 ratonas BALB/c hembra por tratamiento). Tanto el pTHPcapgrttnC como el pTHPcapRgrttnC desencadenaron respuestas de LTC en el mismo intervalo de error que el pTHRepRgrttnC, pero con menos variabilidad de respuesta entre los experimentos (figura 7).

Los vectores de expresión de mamífero descritos en la presente memoria muestran una estimulación del nivel de expresión de la proteína del transgén. Esto tiene utilidad al mejorar la eficacia de la dosis en las vacunas de ADN hechas de plásmidos, para los estudios de expresión *in vitro* en las células de mamífero y, posiblemente, para ser usados en terapias génicas.

20 En el desarrollo de vacunas de ADN, el mayor nivel de expresión del transgén que se puede alcanzar mediante el uso de las combinaciones de promotores Pcap-Pcmv y PcapR-Pcmv permite que posiblemente se reduzca unas 10 veces la dosis de vacuna necesaria para conseguir la misma respuesta inmunitaria celular que se puede conseguir con el uso de una construcción de vacuna casi idéntica que utiliza únicamente el Pcmv (como se ha demostrado hasta ahora en un modelo de inmunogenia murina).

#### 25 Bibliografía

Barouch DH, Yang ZY, Kong WP, et al. (2005). A human T-cell leukemia virus type 1 regulatory element enhances the immunogenicity of human immunodeficiency virus type 1 DNA vaccines in mice and nonhuman primates. J Virol.; 79: 8828-8834.

Burgers W.A., J.H. van Harmelen, E. Shephard, et al. (2005). Design and preclinical evaluation of a multigene HIV-1 subtype C DNA vaccine for clinical trial. J. Gen Virol, 87:399-410.

Garmory HS, Brown KA, Titball RW (2003). DNA vaccines: improving expression of antigens. Genet Vaccines Ther. 1:2.

Hattermann K, Roedner C, Schmitt C, et al. (2004). Infection studies on human cell lines with porcine circovirus type 1 and porcine circovirus type 2. Xenotransplantation 11:284-294.

Mankertz A, Caliskan R, Hattermann K, et al. (2004). Molecular biology of porcine circovirus; analysis of gene expression and viral replication. Vet Microbiol 98:81-88.

Quintana J, Balasch M, Segales J, et al. (2002). Experimental inoculation of porcine Circoviruses type 1 (PCV1) and type 2 (PCV2) in rabbits and mice. Vet Res 33:229-237.

Velten J, Morey K, Cazzonelli C. (2005). Plant viral intergenic DNA sequence repeats with transcription enhancing activity. Virology Journal 2:16 doi:10.1186/1743-422X-2-16.

http://www.cbrc.jp/research/db/TFSEARCH.html

#### **LISTA DE SECUENCIAS**

<110> South African Medical Research council university of Cape Town

5 <120> Sistema de expresión que incorpora una secuencia promotora de la cápsida como potenciador de un promotor de citomegalovirus

<130> PA140583/PCT

10 <140> PCT/IB2006/003150

<141> 08-11-2006

<150> ZA 2005/09036

<151> 08-11-2005

15 <160> 41

<170> PatentIn versión 3.5

20 <210> 1

<211> 184

<212> ADN

<213> Circovirus porcino 1

25 <400> 1

ctagtaggtg tcgctaggct cagcaaaatt acgggcccac tgactcttcc	cacaaccggg	60
cgggcccact atgacgtgta cagctgtctt ccaatcacgc tgctgcatct	tcccgctcac 12	20
tttcaaaagt tcagccagcc cgcggaaatt tctcacatac gttacaggga	actgctccat 18	80
atga	18	84

<210> 2

30 <211> 184

<212> ADN

<213> Circovirus porcino 1

<400> 2

ctagtcatat ggagcagttc cctgtaacgt atgtgagaaa tttccgcggg ctggctgaac 60
ttttgaaagt gagcgggaag atgcagcagc gtgattggaa gacagctgta cacgtcatag 120
tgggcccgcc cggttgtggg aagagtcagt gggcccgtaa ttttgctgag cctagcgaca 180
ccta 184

35 ccta

<210> 3 <211> 175

<212> ADN

40 <213> Circovirus del canario

<400> 3

cgcgcgagag ttcagtgaga tctacgtcaa gtatgggcgt ggtctgaggg atttggccct 60 gatgattgga cagaaacccc gtgacttcaa gacggaagtc gtcgtcatca cagggccttc 120 cggggtgggc aagtcccgac ttgcctctga aatggaagga tcgaagttct acaag 175

45 <210> 4

<211> 175

<212> ADN

<213> Circovirus del canario

<400> 4

	cttgtagaac ttcgatcctt ccatttcaga ggcaagtcgg gacttgccca ccccggaagg	60
	ccctgtgatg acgacgactt ccgtcttgaa gtcacggggt ttctgtccaa tcatcagggc	120
	caaatccctc ágaccacgcc catacttgac gtagatctca ctgaactctc gcgcg	175
5	<210> 5 <211> 180 <212> ADN <213> Circovirus del ganso	
	<400> 5	
10	tggcccggaa gtacccgacg acttatgtaa tgtttgggcg gggcttagag cggttgcgtc	60
	agctgatcgt ggagaccgct cgtgattgga agacggaggt catcgttctg attgggcggc	120
	ctggaagcgg gaagagccgt tacgcgtttg aatttcccgc gcgtgaaaag tattataaat	180
15	<210> 6 <211> 180 <212> ADN <213> Circovirus del ganso	
	<400> 6	
	atttataata cttttcacgc gcgggaaatt caaacgcgta acggctcttc ccgcttccag	60
	gccgcccaat cagaacgatg acctccgtct tccaatcacg agcggtctcc acgatcagct	120
20	gacgcaaccg ctctaagccc cgcccaaaca ttacataagt cgtcgggtac ttccgggcca	180
25	<210> 7 <211> 190 <212> ADN <213> Circovirus del pato	
	<400> 7	
	tgaggtggcc cggaagttcc ccacgactta tgttatcttt gggcgtggcc tggaacgcct	60
	ccgtcacctg atcgttgaga cgcaacgtga ttggaagacc gaagtcatcg ttctgattgg	120
	tccgcccggc accgggaaga gccgttatgc atttgaattt cccgccgaaa acaagtatta	180
30	caaaccacgc	190
	<210> 8 <211> 190 <212> ADN <213> Circovirus del pato	
35	<400> 8	
	gcgtggtttg taatacttgt tttcggcggg aaattcaaat gcataacggc tcttcccggt	60
	gccgggcgga ccaatcagaa cgatgacttc ggtcttccaa tcacgttgcg tctcaacgat	120
	caggtgacgg aggcgttcca ggccacgccc aaagataaca taagtcgtgg ggaacttccg	180
	ggccacctca	190
40	<210> 9 <211> 180 <212> ADN	

	<213> Circovirus de los colúmbidos	
	<400> 9	
	tcgcgcgaga cttcagtgag atatacgtca agtatgggcg tggcttgcgc gacctgaagc	60
	tgctgattgg tcagcagcct cgtgacttca aaacggaagt catcgtcatc acgggcccgc	120
5	ccggttgcgg gaagagccgt tgggcagctg agtaccccgg aagtaaattt tacaagatga	180
10	<210> 10 <211> 180 <212> ADN <213> Circovirus de los colúmbidos	
	<400> 10	
	tcatcttgta aaatttactt ccggggtact cagctgccca acggctcttc ccgcaaccgg	. 6
	gcgggcccgt gatgacgatg acttccgttt tgaagtcacg aggctgctga ccaatcagca	12
15	gcttcaggtc gcgcaagcca cgcccatact tgacgtatat ctcactgaag tctcgcgga <210> 11   <211> 180   <212> ADN   <213> Circovirus de la gaviota <400> 11   gtgaaatcgc gcgagagttc agtgaagtct acgtcaagta tgggcggggc ctccgtgatc	18 60
	tccggttgct gattggttgc ccgccccgcg atttcaaaac agaagtcatc gttctgattg	120
20	gcccacctgg ctgtggcaag tcaaaattgg ccaatgagat ggaagggtct aagttctaca	180
25	<210> 12 <211> 180 <212> ADN <213> Circovirus de la gaviota	
	<400> 12	
	tgtagaactt agacccttcc atctcattgg ccaattttga cttgccacag ccaggtgggc	60
	caatcagaac gatgacttct gttttgaaat cgcggggcgg gcaaccaatc agcaaccgga	120
20	gatcacggag gccccgccca tacttgacgt agacttcact gaactctcgc gcgatttcac	180
30 35	<210> 13 <211> 180 <212> ADN <213> Circovirus del pinzón	
33	<400> 13 tcgcgcgaga gttcagtcta gcctacgtca gatatgggcg gggcctgcgt gatcttgcgc	60
	tgctgattgg ccagaagccc cgtgacttca aaacggaagt catagtgctg accggcccta	120
	gtgggtgtgg caaatcccgc tgggccaatg aacaagaagg aactaagttt tataaaatga	180
40	<210> 14 <211> 180 <212> ADN <213> Circovirus del pinzón	
45	<400> 14	

	tcattttata aaacttagtt ccttcttgtt cattggccca gcgggatttg ccacacccac tagggccggt cagcactatg acttccgttt tgaagtcacg gggcttctgg ccaatcagca	60 <b>1</b> 20
	gcgcaagatc acgcaggccc cgcccatatc tgacgtaggc tagactgaac tctcgcgcga	180
5	<210> 15 <211> 180 <212> ADN <213> Virus AFG3-ZA de la enfermedad del pico y las plumas	
10	<400> 15	
10	cgcgcgagag ttcccagata tctacgtcag gcatgggcgg ggcttacata atctctcgct	60
	aatggttggt tcccggccac gtgacttcaa gactgaggtc gacgtcatct acggaccacc	120
	ggggtgtggc aagagtagat gggccaatga gcagccgggg accaaatatt ataaaatgcg	180
15	<210> 16 <211> 180 <212> ADN <213> Virus AFG3-ZA de la enfermedad del pico y las plumas	
	<400> 16 _ cgcattttat aatatttggt ccccggctgc tcattggccc atctactctt gccacacccc	60
	ggtggtccgt agatgacgtc gacctcagtc ttgaagtcac gtggccggga accaaccatt	120
20	agcgagagat tatgtaagcc ccgcccatgc ctgacgtaga tatctgggaa ctctcgcgcg	180
20	<210> 17 <211> 190 <212> ADN <213> Circovirus porcino 2	
25	<400> 17 ccgttgcaga gcagcaccct gtaacgtttg tcagaaattt ccgcgggctg gctgaacttt	60
	tgaaagtgag cgggaaaatg cagaagcgtg attggaagac taatgtacac gtcattgtgg	120
	ggccacctgg gtgtggtaaa agcaaatggg ctgctaattt tgcagacccg gaaaccacat	180
	actggaaacc	190
30	<210> 18 <211> 190 <212> ADN <213> Circovirus porcino 2	
	<400> 18 ggtttccagt atgtggtttc cgggtctgca aaattagcag cccatttgct tttaccacac	60
	ccaggtggcc ccacaatgac gtgtacatta gtcttccaat cacgcttctg cattttcccg	120
	ctcactttca aaagttcagc cagcccgcgg aaatttctga caaacgttac agggtgctgc	180
35	tctgcaacgg	190
40	<210> 19 <211> 3687 <212> ADN <213> Artificial	
	<220> <223> Secuencia de gag subtipo C de HIV-1, transcriptasa inversa, regiones tat y nef	

<400> 19

	aagcttgcca	ccatggctgc	tcgcgcatct	atcctcagag	gcgaaaagtt	ggataagtgg	60
	gaaaaaatca	gactcaggcc	aggaggtaaa	aaacactaca	tgctgaagca	tatcgtgtgg	120
	gcatctaggg	agttggagag	atttgcáctg	aaccccggac	tgctggaaac	ctcagagggc	180
	tgtaagcaaa	tcatgaaaca	gctccaacca	gccttgcaga	ccggaacaga	agagctgaag	240
	tccctttaca	ataccgtggc	aaccctctat	tgcgtccacg	agaagatcga	ggtgagagac	300
	acaaaggagg	ccctggacaa	aatcgaggag	gagcagaata	agtgccagca	gaagacccag	360
	caggcaaagg	ctgctgacgg	aaaggtctct	cagaactatc	ctatcgttca	gaaccttcag	420
	gggcagatgg	tgcaccaagc	aatcagccct	agaaccctga	acgcatgggt	gaaggtgatc	480
	gaggagaaag	ccttttctcc	cgaggttatc	cccatgttta	ccgccctgag	cgaaggcgcc	540
	actcctcaag	acctgaacac	tatgctgaac	acagtgggag	gacaccaggc	cgctatgcag	600
	atgttgaagg	ataccatcaa	cgaggaggca	gccgaatggg	accgcctcca	cccgtgcac	660
	gccggaccta	tcgccccgg	acaaatgaga	gaacctcgcg	gaagtgatat	tgccggtact	720
	accagcaccc	ttcaagagca	gattgcttgg	atgaccagca	acccacccat	cccagtgggc	780
	gatatttaca	aaaggtggat	tattctgggg	ctgaacaaaa	ttgtgagaat	gtactccccc	840
	gtctccatcc	tcgacatccg	ccaaggaccc	aaggagcctt	ttagggatta	cgtggacaga	900
	ttcttcaaaa	cccttagagc	tgagcaagcc	actcaggagg	ttaagaactg	gatgacagat	960
	actctgctcg	tgcaaaacgc	taaccccgat	tgcaaaacca	tcttgagagc	tctcggtcca	1020
	ggtgccaccc	ttgaggaaat	gatgacagca	tgtcaaggcg	tgggaggacc	tgggcacaag	1080
	gccagagttc	tcgctgaggc	catgagccag	acaaactcag	gcaatatcat	gatgcagagg	1140
	agtaacttta	agggtcccag	gagaatcgtc	aagtgcttca	attgtggcaa	ggagggtcac	1200
	attgċcagga	actgccgcgc	ccccaggaag	aaaggctgct	ggaagtgtgg	caaagagggc	1260
	caccagatga	aggattgcac	cgagcgccaa	gcaaacttcc	tgggaaagat	ttggcccagt	1320
	cataagggcc	gccctggcga	attctgcggc	aagaaggcca	tcggcaccgt	gctggtgggc	1380
	cccacccccg	tgaacatcat	cggccggaac	atgctgaccc	agctgggctg	caccctgaac	1440
	ttccccatca	gccccatcga	gaccgtgccc	gtgaagctga	agcccggcat	ggacggcccc	1500
	aaggtgaagc	agtggcccct	gaccgaggtg	aagatcaagg	ccctgaccgc	catctgcgag	1560
	gagatggaga	aggagggcaa	gatcaccaag	atcggccccg	agaaccccta	caacaccccc	1620
	atcttcgcca	tcaagaagga	ggacagcacc	aagtggcgga	agctggtgga	cttccgggag	1680
	ctgaacaagc	ggacccagga	cttctgggag	gtgcagctgg	gcatccccca	cccgccggc	1740
	ctgaagaaga	agaagagcgt	gaccgtgctg	gacgtgggcg	acgcctactt	cagcgtgccc	1800
	ctggacgagg	gcttccggaa	gtacaccgcc	ttcaccatcc	ccagcatcaa	caacgagacc	1860
-	cccggcatcc	ggtaccagta	caacgtgctg	ccccagggct	ggaagggcag	ccccgccatc	1920

```
ttccaggcca gcatgaccaa gatcctggag cccttccggg ccaagaaccc cgagatcgtg
                                                                      1980
atctaccagt acatggccgc cctgtacgtg ggcagcgacc tggagatcgg ccagcaccgg
                                                                       2040
                                                                      2100
gccaagatcg aggagctgcg ggagcacctg ctgaagtggg gcttcaccac ccccgacaag
aagcaccaga aggagccccc cttcctgtgg atgggctacg agctgcaccc cgacaagtgg
                                                                       2160
                                                                       2220
accgtgcagc ccatccagct gcccgagaag gacagctgga ccgtgaacga catccagaag
                                                                       2280
ctggtgggca agctgaactg gaccagccag atctaccccg gcatcaaggt gcggcagctg
tgcaagctgc tgcggggcac caaggccctg accgacatcg tgcccctgac cgaggaggcc
                                                                       2340
gagctggagc tggccgagaa ccgggagatc ctgaaggagc ccgtgcacgg cgtgtactac
                                                                       2400
gaccccagca aggacctgat cgccgagatc cagaagcagg gcgacgacca gtggacctac
                                                                       2460
cagatctacc aggagccctt caagaacctg aaaaccggca agtacgccaa gcggcggacc
                                                                       2520
acccacacca acgacgtgaa gcagctgacc gaggccgtgc agaagatcag cctggagagc
                                                                       2580
atcgtgacct ggggcaagac ccccaagttc cggctgccca tccagaagga gacctgggag
                                                                       2640
atctggtgga ccgactactg gcaggccacc tggatccccg agtgggagtt cgtgaacagc
                                                                       2700
ggccgcaagc ttgccaccat ggtgggcatc agctacggcc gcaagaagcg ccgccagcgc
                                                                       2760
                                                                       2820
cgcagcaccc cgcccagcag cgaggaccac cagaacccca tcagcaagca gcccctgccc
cagacccgcg gcgaccccac cggcagcgag gagagcaaga agaaggtgga gagcaagacc
                                                                       2880
aagaccgacc ccttcgactg caagtactgc agctaccact gtctggtgtg cttccagacc
                                                                       2940
                                                                       3000
aagggcctgg gcatctccta cgggcgcaag aaacggatgg agcccatcga ccccaacctg
                                                                       3060
gagecetgga accaeeeegg cageeageee aacaeeeeet geaacaagtg etaetgeaaa
                                                                       3120
tactgctcct accactgcct cgtggtgggc tggcccgccg tgcgcgagcg catccgccgc
                                                                       3180
accgagcccg ccgccgaggg cgtgggcccc gccagccagg acctggacaa gcacggcgcc
ctgaccagca gcaacaccgc ccacaacaac cccgactgcg cctggctgca ggcccaggag
                                                                       3240
gaggaggagg acgtgggctt ccccgtgcgc ccccaggtgc ccctgcgccc catgacctac
                                                                       3300
                                                                       3360
aaggccgcct tcgacctgag cttcttcctg aaggagaagg gcggcctgga gggcctgatc
cacagcaagc gccgccagga catcctggac ctgtgggtgt accacaccca gggctacttc
                                                                       3420
                                                                       3480
cccgactggc agaactacac ccccggcccc ggcgtgcgct accccctgac cttcggctgg
tgcttcaagc tggtgcccgt ggacccccgc gaggtggagg aggccaacaa gggcgagaac
                                                                       3540
                                                                       3600
aactgcctgc tgcaccccat gagccagcac ggcatggagg acgccgaccg cgaggtgctg
cgctgggtgt tcgacagcag cctggcccgc cgccacctgg cccgcgagaa gcaccccgag
                                                                       3660
                                                                       3687
tactacaagg actgagaatt ctctaga
<210> 20
```

<211> 4912

<400> 20

60 gacggatcgg gagatctccc gatcccctat ggtcgactct cagtacaatc tgctctgatg

<sup>5 &</sup>lt;212> ADN <213> Circovirus porcino

ccgcatagtt	aagccagtat	ctgctccctg	cttgtgtgtt	ggaggtcgct	gagtagtgcg	120
cgagcaaaat	ttaagctaca	acaaggcaag	gcttgaccga	caattgcatg	aagaatctgc	180
ttagggttag	gcgttttgcg	ctgcttcgcg	atgtacgggc	cagatatacg	cgttttgaga	240 `
tttctgtcgc	cgactaaatt	catgtcgcgc	gatagtggtg	tttatcgccg	atagagatgg	300
cgatattgga	aaaatcgata	tttgaaaata	tggcatattg	aaaatgtcgc	cgatgtgagt	360
ttctgtgtaa	ctgatatcgc	catttttcca	aaagtgattt	ttgggcatac	gcgatatctg	420
gcgatagcgc	ttatatcgtt	tacgggggat	ggcgatagac	gactttggtg	acttgggcga	480
ttctgtgtgt	cgcaaatatc	gcagtttcga	tataggtgac	agacgatatg	aggctatatc	540
gccgatagag	gcgacatcaa	gctggcacat	ggccaatgca	tatcgatcta	tacattgaat	600
caatattggc	cattagccat	attattcatt	ggttatatag	cataaatcaa	tattggctat	660
tggccattgc	atacgttgta	tccatatcat	aatatgtaca	tttatattgg	ctcatgtcca	720
acattaccgc	catgttgaca	ttgattattg	actagttatt	aatagtaatc	aattacgggg	780
tcattagttc	atagcccata	tatggagttc	cgcgttacat	aacttacggt	aaatggcccg	840
cctggctgac	cgcccaacga	ccccgccca	ttgacgtcaa	taatgacgta	tgttcccata	900
gtaacgccaa	tagggacttt	ccattgacgt	caatgggtgg	agtatttacg	gtaaactgcc	960
cacttggcag	tacatcaagt	gtatcatatg	ccaagtacgc	cccctattga	cgtcaatgac	1020
ggtaaatggc	ccgcctggca	ttatgcccag	tacatgacct	tatgggactt	tcctacttgg	1080
cagtacatct	acgtattagt	catcgctatt	accatggtga	tgcggttttg	gcagtacatc	1140
aatgggcgtg	gatagcggtt	tgactcacgg	ggatttccaa	gtctccaccc	cattgacgtc	1200
aatgggagtt	tgttttggca	ccaaaatcaa	cgggactttc	caaaatgtcg	taacaactcc	1260
gccccattga	cgcaaatggg	cggtaggcgt	gtacggtggg	aggtctatat	aagcagagct	1320
cgtttagtga	accgtcagat	cgcctggaga	cgccatccac	gctgttttga	cctccataga	1380
agacaccggg	accgatccag	cctccgcggc	cgggaacggt	gcattggaac	gcggattccc	1440
cgtgccaaga	gtgacgtaag	taccgcctat	agagtctata	ggcccacccc	cttggcttct	1500
tatgcatgct	atactgtttt	tggcttgggg	tctatacacc	cccgcttcct	catgttatag	1560
gtgatggtat	agcttagcct	ataggtgtgg	gttattgacc	attattgacc	actcccctat	1620
tggtgacgat	actttccatt	actaatccat	.aacatggctc	tttgccacaa	ctctctttat	1680
tggctatatg	ccaatacact	gtccttcaga	gactgacacg	gactctgtat	ttttacagga	1740
tggggtctca	tttattattt	acaaattcac	atatacaaca	ccaccgtccc	cagtgcccgc	1800
agtttttatt	aaacataacg	tgggatctcc	acgcgaatct	cgggtacgtg	ttccggacat	1860
gggctcttct	ccggtagcgg	cggagcttct	acatccgagc	cctgctccca	tgcctccagc	1920
gactcatggt	cgctcggcag	ctccttgctc	ctaacagtgg	aggccagact	taggcacagc	1980
acgatgccca	ccaccaccag	tgtgccgcac	aaggccgtgg	cggtagggta	tgtgtctgaa	2040
aatgagctcg	gggagcgggc	ttgcaccgct	gacgcatttg	gaagacttaa	ggcagcggca	2100

gaagaagatg	caggcagctg	agttgttgtg	ttctgataag	agtcagaggt	aactcccgtt	2160
gcggtgctgt	taacggtgga	gggcagtgta	gtctgagcag	tactcgttgc	tgccgcgcgc	2220
gccaccagac	ataatagctg	acagactaac	agactgttcc	tttccatggg	tcttttctgc	2280
agtcaccgtc	cttgacacga	agcttggtac	cgagctcgga	tccactagta	acggccgcca	2340
gtgtgctgga	attctgcaga	tatccatcac	actggcggcc	gctcgagcat	gcatctagag	2400
ggccctattc	tatagtgtca	cctaaatgct	agagctcgct	gatcagcctc	gactgtgcct	2460
tctagttgcc	agccatctgt	tgtttgcccc	tccccgtgc	cttccttgac	cctggaaggt	2520
gccactccca	ctgtcctttc	ctaataaaat	gaggaaattg	catcgcattg	tctgagtagg	2580
tgtcattcta	ttctgggggg	tggggtgggg	caggacagca	agggggagga	ttgggaagac	2640
aatagcaggc	atgctgggga	tgcggtgggc	tctatggctt	ctgaggcgga	aagaaccagc	2700
tggggctcga	ggggggatcg	atcccgtcga	cctcgagagc	ttggcgtaat	catggtcata	2760
gctgtttcct	gtgtgaaatt	gttatccgct	cacaattcca	cacaacatac	gagccggaag	2820
cataaagtgt	aaagcctggg	gtgcctaatg	agtgagctaa	ctcacattaa	ttgcgttgcg	2880
ctcactgccc	gctttccagt	cgggaaacct	gtcgtgccag	ctgcattaat	gaatcggcca	2940
acgcgcgggg	agaggcggtt	tgcgtattgg	gcgctcttcc	gcttcctcgc	tcactgactc	3000
gctgcgctcg	gtcgttcggc	tgcggcgagc	ggtatcagct	cactcaaagg	cggtaatacg	3060
gttatccaca	gaatcagggg	ataacgcagg	aaagaacatg	tgagcaaaag	gccagcaaaa	3120
ggccaggaac	cgtaaaaagg	ccgcgttgct	ggcgttttc	cataggctcc	gccccctga	3180
cgagcatcac	aaaaatcgac	gctcaagtca	gaggtggcga	aacccgacag	gactataaag	3240
ataccaggcg	tttcccctg	gaagctccct	cgtgcgctct	cctgttccga	ccctgccgct	3300
taccggatac	ctgtccgcct	ttctcccttc	gggaagcgtg	gcgctttctc	aatgctcacg	3360
ctgtaggtat	ctcagttcgg	tgtaggtcgt	tcgctccaag	ctgggctgtg	tgcacgaacc	3420
ccccgttcag	cccgaccgct	gcgccttatc	cggtaactat	cgtcttgagt	ccaacccggt	3480
aagacacgac	ttatcgccac	tggcagcagc	cactggtaac	aggattagca	gagcgaggta	3540
tgtaggcggt	gctacagagt	tcttgaagtg	gtggcctaac	tacggctaca	ctagaaggac	3600 <sup>.</sup>
agtatttggt	atctgcgctc	tgctgaagcc	agttaccttc	ggaaaaagag	ttggtagctc	3660
ttgatccggc	aaacaaacca	ccgctggtag	cggtggtttt	tttgtttgca	agcagcagat	3720
tacgcgcaga	aaaaaaggat	ctcaagaaga	tcctttgatc	ttttctacgg	ggtctgacgc	3780
tcagtggaac	gaaaactcac	gttaagggat	tttggtcatg	agattatcaa	aaaggatctt	3840
cacctagatc	cttttaaatt	aaaaatgaag	ttttaaatca	atctaaagta	tatatgagta	3900
aacttggtct	gacagttacc	aatgcttaat	cagtgaggca	cctatctcag	cgatctgtct	3960
atttcgttca	tccatagttg	cctgactccc	cgtcgtgtag	ataactacga	tacgggaggg	4020
cttaccatct	ggccccagtg	ctgcaatgat	accgcgagac	ceacgctcac	cggctccaga <sup>-</sup>	4080
tttatcagca	ataaaccagc	cagccggaag	ggccgagcgc	agaagtggtc	ctgcaacttt	4140

atccgcctcc	atccagtcta	ttaattgttg	ccgggaagct	agagtaagta	gttcgccagt	4200
taatagtttg	cgcaacgttg	ttgccattgc	tacaggcatc	gtggtgtcac	gctcgtcgtt	4260
tggtatggct	tcáttcagct	ccggttccca	acgatcaagg	cgagttacat	gatcccccat	432 <u>0</u>
gttgtgcaaa	aaagcggtta	gctccttcgg	tcctccgatc	gttgtcagaa	gtaagttggc	4380
cgcagtgtta	tcactcatgg	ttatggcagc	actgcataat	tctcttactg	tcatgccatc	4440
cgtaagatgc	ttttctgtga	ctggtgagta	ctcaaccaag	tcattctgag	aatagtgtat	4500
gcggcgaccg	agttgctctt	gcccggcgtc	aatacgggat	aataccgcgc	cacatagcag	4560
aactttaaaa	gtgctcatca	ttggaaaacg	ttcttcgggg	cgaaaactct	caaggatctt	4620
accgctgttg	agatccagtt	cgatgtaacc	cactcgtgca	cccaactgat	cttcagcatc	4680
ttttactttc	accagcgttt	ctgggtgagc	aaaaacagga	aggcaaaatg	ccgcaaaaaa	4740
gggaataagg	gcgacacgga	aatgttgaat	actcatactc	ttcctttttc	aatattattg	4800
aagcatttat	cagggttatt	gtctcatgag	cggatacata	tttgaatgta	tttagaaaaa	4860
taaacaaata	ggggttccgc	gcacatttcc	ccgaaaagtg	ccacctgacg	tc	4912

<210> 21 <211> 1777 5 <212> ADN

<213> Circovirus porcino

<400> 21

ctagtctcga cattggtgtg ggtatttaaa tggagccaca gctggtttct tttattattt 60 ggctggaacc aatcaattgt ttggtccagc tcaggtttgg gggtgaagta cctggagtgg 120 taggtaaagg gctgccttat ggtgtggcgg gaggagtagt taatataggg gtcataggcc 180 240 aagttggtgg agggggttac aaagttggca tccaagataa cagcagtgga cccaacacct 300 ctttgattag aggtgatggg gtctctgggg taaaattcat atttagcctt tctaatacgg tagtattgga aaggtagggg taggggggttg gtgccgcctg agggggggag gaactggccg 360 atgttgaatc tgagctggtt aacattccaa gatggctgcg agtgtcctcc ttctatggtg 420 480 agtacaaatt ctctagaaag gcggcaattg aagatacccg tctttcggcg ccatctgtaa cggtttctga aggcggggtg tgccaaatat ggtcttctgc ggaggatgtt tccaagatgg 540 ctgcgggggc gggtccttct tctgcggtaa cgcctccttg gccacgtcat cctataaaag 600 tgaaagaagt gcgctgctgt agtattacca gcgcacttcg gcagcggcag cacctcggca 660 gcgtcggtga aaatgccaag caagaaaagc ggcccgcaac cccataagag gtgggtgttc 720 accottaata atcottocga ggaggagaaa aacaaaatac gggaggottoc aatctcoott 780 tttgattatt ttgtttgcgg agaggaaggt ttggaagagg gtagaactcc tcacctccag 840 gggtttgcga attttgctaa gaagcagact tttaacaagg tgaagtggta ttttggtgcc 900 960 cgctgccaca tcgagaaagc gaaaggaacc gaccagcaga ataaagaata ctgcagctgc 1020 agtaaagaag gccacatact tatcgagtgt ggagctccgc ggaaccaggg gaagcgcagc

	gacctgtcta	ctgctgtgag	tacccttttg	gagacggggt	ctttggtgac	tgtagccgag	1080
	cagttccctg	taacgtatgt	gagaaatttc	cgcgggctgg	ctgaactttt	gaaagtgagc	1140
•	gggaagatgc	agcagcgtga	ttggaagaca	gctgtacacg	tcatagtggg	cccgcccggt	1200
	tgtgggaaga	gccagtgggc	ccgtaatttt	gctgagccta	gcgacaccta	ctggaagcct	1260
	agtagaaata	agtggtggga	tggatatcat	ggagaagaag	ttgttgtttt	ggatgatttt	1320
	tatggctggt	taccttggga	tgatctactg	agactgtgtg	accggtatcc	attgactgta	1380
	gagactaaag	ggggtactgt	tccttttttg	gcccgcagta	ttttgattac	cagcaatcag	1440
	gccccccagg	aatggtactc	ctcaactgct	gtcccagctg	tagaagctct	ctatcggagg	1500
	attactactt	tgcaattttg	gaagactgct	ggagaacaat	ccacggaggt	acccgaaggc	1560
	cgatttgaag	cagtggaccc	accctgtgcc	cttttcccat	ataaaataaa	ttactgagtc	1620
	ttttttgtta	tcacatcgta	atggttttta	tttttattca	tttagagggt	cttttaggat	1680
	aaattctctg	aattgtacat	aaatagtcag	ccttaccaca	taattttggg	ctgtggctgc	1740
	attttggagc	gcatagccga	ggcctgtgtg	acaatca			1777

<210> 22

<211> 1777 5 <212> ADN

<213> Circovirus porcino

<400> 22

•	ctagtgattg	tcacacaggc	ctcggctatg-	cgctccaaaa	tgcagccaca	gcccaaaatt	60
	•	gctgactatt					120
	atgaataaaa	ataaaaacca	ttacgatgtg	ataacaaaaa	agactcagta	atttatttta	180
	tatgggaaaa	gggcacaggg	tgggtccact	gcttcaaatc	ggccttcggg	tacctccgtg	240
		cagcagtctt					300
	acagctggga	cagcagttga	ggagtaccat	tcctgggggg	cctgattgct	ggtaatcaaa	360
	atactgcggg	ccaaaaaagg	aacagtaccc	cctttagtct	ctacagtcaa	tggataccgg	420
		tcagtagatc					480
				,		gtaggtgtcg	540
	ctaggctcag	caaaattacg	ggcccactgg	ctcttcccac	aaccgggcgg	gcccactatg	600
	acgtgtacag	ctgtcttcca	atcacgctgc	tgcatcttcc	cgctcacttt	caaaagttca	660
	gccagcccgc	ggaaatttct	cacatacgtt	acagggaact	gctcggctac	agtcaccaaa	720
	gaccccgtct	ccaaaagggt	actcacagca	gtagacaggt	cgctgcgctt	cccctggttc	780
		cacactcgat		•			840
		cggttccttt			•		900
		aagtctgctt					960
		aaccttcctc					1020
		ttttctcctc			•		1080

ggttgcgggc	cgcttttctt	gcttggcatt	ttcaccgacg	ctgccgaggt	gctgccgctg	1140
ccgaagtgcg	ctggtaatac	tacagcagcg	cacttctttc	acttttatag	gatgacgtgg	1200
ccaaggaggc	gttaccgcag	aagaaggacc	cgccccgca	gccatcttgg	aaacatcctc	<sup>-</sup> 1260
cgcagaagac	catatttggc	acaccccgcc	ttcagaaacc	gttacagatg	gcgccgaaag	1320
acgggtatct	tcaattgccg	cctttctaga	gaatttgtac	tcaccataga	aggaggacac	1380
tcgcagccat	cttggaatgt	taaccagctc	agattcaaca	tcggccagtt	cctcccccc	1440
tcaggcggca	ccaaccccct	acccctacct	ttccaatact	accgtattag	aaaggctaaa	1500
tatgaatttt	accccagaga	ccccatcacc	tctaatcaaa	gaggtgttgg	gtccactgct	1560
gttatcttgg	atgccaactt	tgtaaccccc	tccaccaact	tggcctatga	cccctatatt	1620
aactactcct	cccgccacac	cataaggcag	ccctttacct	accactccag	gtacttcacc	1680
cccaaacctg	agctggacca	aacaattgat	tggttccagc	caaataataa	aagaaaccag	1740
ctgtggctcc	atttaaatac	ccacaccaat	gtcgaga			1777
<210> 23 <211> 752 <212> ADN <213> Circoviru <400> 23	ıs porcino					
						<b>CO</b>
	aaggcggcaa			•		120
	gtgtgccaaa		•			120 180
	tcttctgcgg	•				240
	tgtagtatta					300
_	aagcaagaaa			,	•	360
	cgaggaggag			•		420
	cggagaggaa		*			480
•	taagaagcag			•		540
	agcgaaagga					600
	cgagtgtgga					660
	ttaccagcaa					720
	ctctctatcg			cccggaagac	tyctygagaa	752
	aggtacccga	ayyccyaccc	ya			, , , ,
<210> 24 <211> 350 <212> ADN <213> Circoviru	ıs porcino					
<400> 24	22000000023	ttasaastac	reatettea	acaccatcta	taacqqtttc	60
	aaggcggcaa	•				120
LyaayyLyyy	gtgtgccaaa	catygittit	cccyyayyat	gillaga	-333-333	120

	ggcgggtcct tcttctgcgg taacgcctcc ttggccacgt catcctataa aagtgaaaga	
	agtgcgctgc tgtagtatta ccagcgcact tcggcagatc aggcccccca ggaatggtac	
	tcctcaactg ctgtcccagc tgtagaagct ctctatcgga ggattactac tttgcaattt	
	tggaagactg ctggagaaca atccacggag gtacccgaag gccgatttga	
5	<210> 25 <211> 17 <212> ADN <213> Artificial	
10	<220> <223> Secuencia del cebador	
10	<400> 25 cctaactacg gctacac 17	
15	<210> 26 <211> 18 <212> ADN <213> Artificial	
20	<220> <223> Secuencia del cebador	
	<400> 26 cgtagttatc tacacgac 18	
25	<210> 27 <211> 190 <212> ADN <213> Circovirus porcino	
30	<400> 27 actagtaggt gtcgctaggc tcagcaaaat tacgggccca ctgactcttc ccacaaccgg	60
	gcgggcccac tatgacgtgt acagctgtct tccaatcacg ctgctgcatc ttcccgctca	120
	ctttcaaaag ttcagccagc ccgcggaaat ttctcacata cgttacaggg aactgctcca	180
	tatgactagt	190
35	<210> 28 <211> 190 <212> ADN <213> Circovirus porcino	
	<400> 28_ actagtcata tggagcagtt ccctgtaacg tatgtgagaa atttccgcgg gctggctgaa	60
	cttttgaaag tgagcgggaa gatgcagcag cgtgattgga agacagctgt acacgtcata	120
	gtgggcccgc ccggttgtgg gaagagtcag tgggcccgta attttgctga gcctagcgac	180
40	acctactagt	190
40	<210> 29 <211> 1783 <212> ADN <213> Circovirus porcino	
45	<400> 29	

```
actagtctcg acattggtgt gggtatttaa atggagccac agctggtttc ttttattatt
                                                                        60
                                                                       120
tggctggaac caatcaattg tttggtccag ctcaggtttg ggggtgaagt acctggagtg
                                                                       180
gtaggtaaag ggctgcctta tggtgtggcg ggaggagtag ttaatatagg ggtcataggc
caagttggtg gagggggtta caaagttggc atccaagata acagcagtgg acccaacacc
                                                                       240
tctttgatta gaggtgatgg ggtctctggg gtaaaattca tatttagcct ttctaatacg
                                                                       300
gtagtattgg aaaggtaggg gtagggggtt ggtgccgcct gaggggggga ggaactggcc
                                                                       360
gatgttgaat ctgagctggt taacattcca agatggctgc gagtgtcctc cttctatggt
                                                                       420
                                                                       480
gagtacaaat tototagaaa ggoggcaatt gaagatacco gtotttoggo gocatotgta
acggtttctg aaggcggggt gtgccaaata tggtcttctg cggaggatgt ttccaagatg
                                                                       540
                                                                       600
gctgcggggg cgggtccttc ttctgcggta acgcctcctt ggccacgtca tcctataaaa
                                                                       660
gtgaaagaag tgcgctgctg tagtattacc agcgcacttc ggcagcggca gcacctcggc
                                                                       720
agcgtcggtg aaaatgccaa gcaagaaaag cggcccgcaa ccccataaga ggtgggtgtt
                                                                       780
caccettaat aateetteeg aggaggagaa aaacaaaata egggagette caateteeet-
                                                                       840
ttttgattat tttgtttgcg gagaggaagg tttggaagag ggtagaactc ctcacctcca
ggggtttgcg aattttgcta agaagcagac ttttaacaag gtgaagtggt attttggtgc
                                                                       900
                                                                       960
ccgctgccac atcgagaaag cgaaaggaac cgaccagcag aataaagaat actgcagctg
                                                                      1020
cagtaaagaa ggccacatac ttatcgagtg tggagctccg cggaaccagg ggaagcgcag
                                                                      1080
cgacctgtct actgctgtga gtaccctttt ggagacgggg tctttggtga ctgtagccga
gcagttccct gtaacgtatg tgagaaattt ccgcgggctg gctgaacttt tgaaagtgag
                                                                      1140
                                                                      1200
cgggaagatg cagcagcgtg attggaagac agctgtacac gtcatagtgg gcccgcccgg
ttgtgggaag agccagtggg cccgtaattt tgctgagcct agcgacacct actggaagcc
                                                                      1260
                                                                      1320
tagtagaaat aagtggtggg atggatatca tggagaagaa gttgttgttt tggatgattt
ttatggctgg ttaccttggg atgatctact gagactgtgt gaccggtatc cattgactgt
                                                                      1380
                                                                      1440
agagactaaa gggggtactg ttcctttttt ggcccgcagt attttgatta ccagcaatca
ggcccccag gaatggtact cctcaactgc tgtcccagct gtagaagctc tctatcggag
                                                                      1500
                                                                      1560
gattactact ttgcaatttt ggaagactgc tggagaacaa tccacggagg tacccgaagg
ccgatttgaa gcagtggacc caccctgtgc ccttttccca tataaaataa attactgagt
                                                                      1620
cttttttgtt atcacatcgt aatggttttt atttttattc atttagaggg tcttttagga
                                                                      1680
taaattctct gaattgtaca taaatagtca gccttaccac ataattttgg gctgtggctg
                                                                      1740
                                                                      1783
cattttggag cgcatagccg aggcctgtgt gacaatcact agt
```

<sup>&</sup>lt;210> 30

<sup>&</sup>lt;211> 1783

<sup>5 &</sup>lt;212> ADN

<sup>&</sup>lt;213> Circovirus porcino

<sup>&</sup>lt;400> 30

60

actagtgatt gtcacacagg cctcggctat gcgctccaaa atgcagccac agcccaaaat

tatgtggtaa	ggctgactat	ttatgtacaa	ttcagagaat	ttatcctaaa	agaccctcta	120
aatgaataaa	aataaaaacc	attacgatgt	gataacaaaa	aagactcagt	aatttattt	180
atatgggaaa	agggcacagg	gtgggtccac	tgcttcaaat	cggccttcgg	gtacctccgt	240
ggattgttct	ccagcagtct	tccaaaattg	caaagtagta	atcctccgat	agagagcttc	300
tacagctggg	acagcagttg	aggagtacca	ttcctggggg	gcctgattgc	tggtaatcaa	360
aatactgcgg	gccaaaaaag	gaacagtacc	ccctttagtc	tctacagtca	atggataccg	420
gtcacacagt	ctcagtagat	catcccaagg	taaccagcca	taaaaatcat	ccaaaacaac	480
aacttcttct	ccatgatatc	catcccacca	cttatttcta	ctaggcttcc	agtaggtgtc	540
gctaggctca	gcaaaattac	gggcccactg	gctcttccca	caaccgggcg	ggcccactat	600
gacgtgtaca	gctgtcttcc	aatcacgctg	ctgcátcttc	ccgctcactt	tcaaaagttc	660
agccagcccg	cggaaatttc	tcacatacgt	tacagggaac	tgctcggcta	cagtcaccaa	720
agaccccgtc	tccaaaaggg	tactcacagc	agtagacagg	tcgctgcgct	tccctggtt	780
ccgcggagct	ccacactcga	taagtatgtg	gccttcttta	ctgcagctgc	agtattcttt	840
attctgctgg	tcggttcctt	tcgctttctc	gatgtggcag	cgggcaccaa	aataccactt	900
caccttgtta	aaagtctgct	tcttagcaaa	attcgcaaac	ccctggaggt	gaggagttct	960
accctcttcc	aaaccttcct	ctccgcaaac	aaaataatca	aaaagggaga	ttggaagctc	1020
ccgtattttg	ttttctcct	cctcggaagg	attattaagg	gtgaacaccc	acctcttatg	1080
gggttgcggg	ccgcttttct	tgcttggcat	tttcaccgac	gctgccgagg	tgctgccgct	1140
gccgaagtgc	gctggtaata	ctacagcagc	gcacttcttt	cacttttata	ggatgacgtg	1200
gccaaggagg	cgttaccgca	gaagaaggac	ccgccccgc	agccatcttg	gaaacatcct	1260
ccgcagaaga	ccatatttgg	cacaccccgc	cttcagaaac	cgttacagat	ggcgccgaaa	1320
gacgggtatc	ttcaattgcc	gcctttctag	agaatttgta	ctcaccatag	aaggaggaca	1380
ctcgcagcca	tcttggaatg	ttaaccagct	cagattcaac	atcggccagt	tcctccccc	1440
ctcaggcggc	accaaccccc	tacccctacc	tttccaatac	taccgtatta	gaaaggctaa	1500
atatgaattt	taccccagag	accccatcac	ctctaatcaa	agaggtgttg	ggtccactgc	1560
tgttatcttg	gatgccaact	ttgtaacccc	ctccaccaac	ttggcctatg	acccctatat	1620
taactactcc	tcccgccaca	ccataaggca	gccctttacc	taccactcca	ggtacttcac	1680
ccccaaacct	gagctggacc	aaacaattga	ttggttccag	ccaaataata	aaagaaacca	1740
gctgtggctc	catttaaata	cccacaccaa	tgtcgagact	agt		1783
<210> 31 <211> 180 <212> ADN <213> Circoviru	us porcino 1					
<400> 31 gcagttccct	gťaacgtatg	tgagaaattt	ccgcgggctg	gctgaactti	tgaaagtgag	60
					gcccgcccgg	120
					actggaagcc	180

5	<210> 32 <211> 184 <212> ADN <213> Circovirus porcino 2	
	<400> 32 cagagcagca ccctgtaacg tttgtcagaa atttccgcgg gctggctgaa cttttgaaag	60
	tgagcgggaa aatgcagaag cgtgattgga agactaatgt acacgtcatt gtggggccac	120
	ctgggtgtgg taaaagcaaa tgggctgcta attttgcaga cccggaaacc acatactgga	180
	aacc	184.
10	<210> 33 <211> 166 <212> ADN <213> Virus de la enfermedad del pico y las plumas	
15	<400>33 cgagagttcc cagatatcta cgtcaggcat gggcggggct tacataatct ctcgctaatg	60
	gttggttccc ggccacgtga cttcaagact gaggtcgacg tcatctacgg accaccgggg	120
	tgtggcaaga gtagatgggc caatgagcag ccggggacca aatatt	166
20	<210> 34 <211> 180 <212> ADN <213> Circovirus del canario	
	<400>34 tggtggagat cgcgcgagag ttcagtgaga tctacgtcaa gtatgggcgt ggtctgaggg	60
	atttggccct gatgattgga cagaaacccc gtgacttcaa gacggaagtc gtcgtcatca	120
25	cagggccttc cggggtgggc aagtcccgac ttgcctctga aatggaagga tcgaagttct	180
25	<210> 35 <211> 174 <212> ADN <213> Circovirus de los colúmbidos	
30	<400> 35	
	tcgcgcgaga cttcagtgag atatacgtca agtatgggcg tggcttgcgc gacctgaagc	60
	tgctgattgg tcagcagcct cgtgacttca aaacggaagt catcgtcatc acgggcccgc	120
	ccggttgcgg gaagagccgt tgggcagctg agtaccccgg aagtaaattt taca	174
35	<210> 36 <211> 182 <212> ADN <213> Circovirus del pato	
40	<400> 36 tgaggtggcc cggaagttcc ccacgactta tgttatcttt gggcgtggcc tggaacgcct	60
	ccgtcacctg atcgttgaga cgcaacgtga ttggaagacc gaagtcatcg ttctgattgg	120
	tccgcccggc accgggaaga gccgttatgc atttgaattt cccgccgaaa acaagtatta	180
	ca	182

5	<210> 37 <211> 201 <212> ADN <213> Circovirus del pinzó	n				
	<400> 37 ccgtgaaagc cggaagagg	t atggccgaag	tcgcgcgaga	gttcagtcta	gcctacgtca	60
	gatatgggcg gggcctgcg	t gatcttgcgc	tgctgattgg	ccagaagccc	cgtgacttca	120
	aaacggaagt catagtgct	g accggcccta	gtgggtgtgg	caaatcccgc	tgggccaatg	180
	aacaagaagg aactaagtt	t t				201
10	<210> 38 <211> 200 <212> ADN <213> Circovirus del ganso	)				
15	<400> 38 tggtctgccg ataactgac	g tggcccggaa	gtacccgacg	acttatgtaa	tgtttgggcg	60
	gggcttagag cggttgcgt	c agctgatcgt	ggagaccgct	cgtgattgga	agacggaggt	120
	catcgttctg attgggcgg	c ctggaagcgg	gaagagccgt	tacgcgtttg	aatttcccgc	180
	gcgtgaaaag tattataaa	t				200
20	<210> 39 <211> 180 <212> ADN <213> Circovirus de la gav	iota				
	<400> 39 gtgaaatcgc gcgagagtt	c agtgaagtct	acgtcaagta	tgggcggggc	ctccgtgatc	60
	tccggttgct gattggttg	c ccgccccgcg	atttcaaaac	agaagtcatc	gttctgattg	120
	gcccacctgg ctgtggcaa	g tcaaaattgg	ccaatgagat	ggaagggtct	aagttctaca	180
25	<210> 40 <211> 190 <212> ADN <213> Circovirus porcino 1					
30	<400> 40 ctgtagccga gcagttcc	t gtaacgtate	g tgagaaatti	t ccgcgggct	g gctgaacttt	60
	tgaaagtgag cgggaaga	g cagcagcgt	g attggaagad	agctgtaca	gtcatagtgg	120
	gcccgcccgg ttgtgggaa	ig agccagtgg	g cccgtaatti	t tgctgagcc1	t agcgacacct	180
	actggaagcc		•			190
35	<210> 41 <211> 190 <212> ADN <213> Circovirus porcino 1					
	<400> 41:					

ggcttccagt	aggtgtcgct	aggctcagca	aaattacggg	cccactggct	cttcccacaa	60
ccgggcgggc	ccactatgac	gtgtacagct	gtcttccaat	cacgctgctg	catcttcccg	120
ctcactttca	aaagttcagc	cagcccgcgg	aaatttctca	catacgttac	agggaactgc	180
tcggctacag					•	190

#### **REIVINDICACIONES**

- Procedimiento in vitro para estimular la expresión de un transgén en una célula hospedadora, en donde el procedimiento incluye las etapas de:
- (a) inserción de una secuencia de un elemento promotor de la cápsida (Pcap) o un complemento inverso de la misma (PcapR) que es al menos idéntica al 80% a cualquiera de las secuencias seleccionadas de las SEQ ID n.º 1, 2, 3, 4, 5, 6, 7, 8, 9, 10, 11, 12, 13, 14, 15, 16, 17, 18, 21, 22 y 24 en un casete de expresión de mamífero delante (5') de un promotor inmediato/temprano de citomegalovirus (Pcmv) o un elemento promotor del SV40:
- (b) inserción del transgén en el vector por detrás (3') del elemento promotor de citomegalovirus o del elemento promotor del SV40;
  - (c) inserción del casete de expresión en la célula hospedadora; y
  - (d) hacer que se exprese el transgén.

5

15

20

30

- 2. Procedimiento de acuerdo con la reivindicación 1, en donde se inserta un intrón de citomegalovirus por detrás (3') del Pcmv y se inserta un sitio de poliadenilación de la hormona de crecimiento bovina (poliA de la bgh) por detrás (3') del transgén.
- 3. Procedimiento de acuerdo con cualquiera de las reivindicaciones 1 o 2, que hace que el transgén se exprese a un nivel más alto que cuando se expresa en un vector que contiene el casete de expresión sin el elemento promotor de la cápsida (Pcap) ni el complemento inverso del mismo.
- 4. Procedimiento de acuerdo con cualquiera de las reivindicaciones 1 a 3, en donde el elemento promotor de la cápsida o el complemento inverso del mismo es de un circovirus.
- 5. Procedimiento de acuerdo con cualquiera de las reivindicaciones 1 a 4, en donde la secuencia de Pcap es cualquiera de las secuencias seleccionadas entre SEQ ID n.º 1, 3, 5, 7, 9, 11, 13, 15, 17, 21, 24 y 29, o la secuencia de PcapR es cualquiera de las secuencias seleccionadas entre SEQ ID n.º 2, 4, 6, 8, 10, 12, 14, 16, 18, 22 y 30.
- 25 6. Procedimiento de acuerdo con cualquiera de las reivindicaciones anteriores, en donde el elemento promotor de la cápsida o el complemento inverso del mismo se inserta inmediatamente por delante (5') del elemento promotor inmediato/temprano de citomegalovirus o del elemento promotor del SV40.
  - 7. Procedimiento de acuerdo con cualquiera de las reivindicaciones 1 a 6, en donde el elemento promotor de la cápsida o el complemento inverso del mismo se inserta hasta 1100 pares de bases por delante (5') del elemento promotor inmediato/temprano de citomegalovirus o del elemento promotor del SV40.
    - 8. Procedimiento de acuerdo con cualquiera de las reivindicaciones anteriores, en donde la célula hospedadora es una línea de células de mamífero.
  - 9. Casete de expresión de mamífero, que incluye:
  - (a) un elemento promotor inmediato/temprano de citomegalovirus (Pcmv) o un elemento promotor del SV40; y
- (b) una secuencia del elemento promotor de la cápsida (Pcap) o un complemento inverso (PcapR) de la misma localizada por delante (5') del elemento promotor de CMV o del elemento promotor del SV40, en donde la secuencia de Pcap o la secuencia de PcapR es al menos idéntica al 80% a cualquiera de las secuencias seleccionadas entre SEQ ID n.º 1, 2, 3, 4, 5, 6, 7, 8, 9, 10, 11, 12, 13, 14, 15, 16, 17, 18, 21, 22 y 24.
  - 10. Casete de expresión de acuerdo con la reivindicación 9, que incluye un transgén por detrás (3') del elemento promotor inmediato/temprano de citomegalovirus o del elemento promotor del SV40.
  - 11. Vector que incluye un casete de expresión de acuerdo con cualquiera de las reivindicaciones 9 o 10.
  - 12. Célula hospedadora transformada con un vector de acuerdo con la reivindicación 11.
  - 13. Vacuna de ADN que incluye un vector o casete de expresión de acuerdo con cualquiera de las reivindicaciones 9 a 11.
- 45 14. Composición farmacéutica que incluye un vector o casete de expresión de acuerdo con cualquiera de las reivindicaciones 9 a 11.

15. Composición farmacéutica de acuerdo con la reivindicación 14, para ser usada en el tratamiento del VIH o

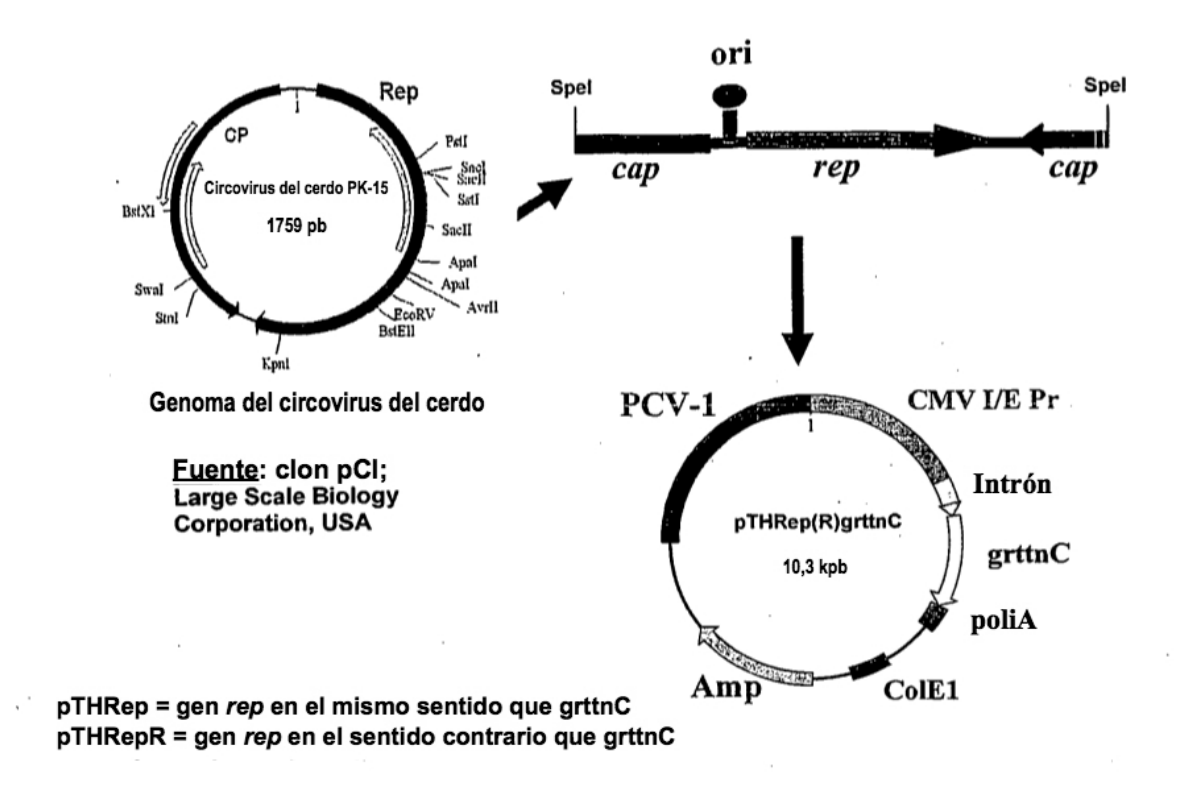


Fig. 1 (a)

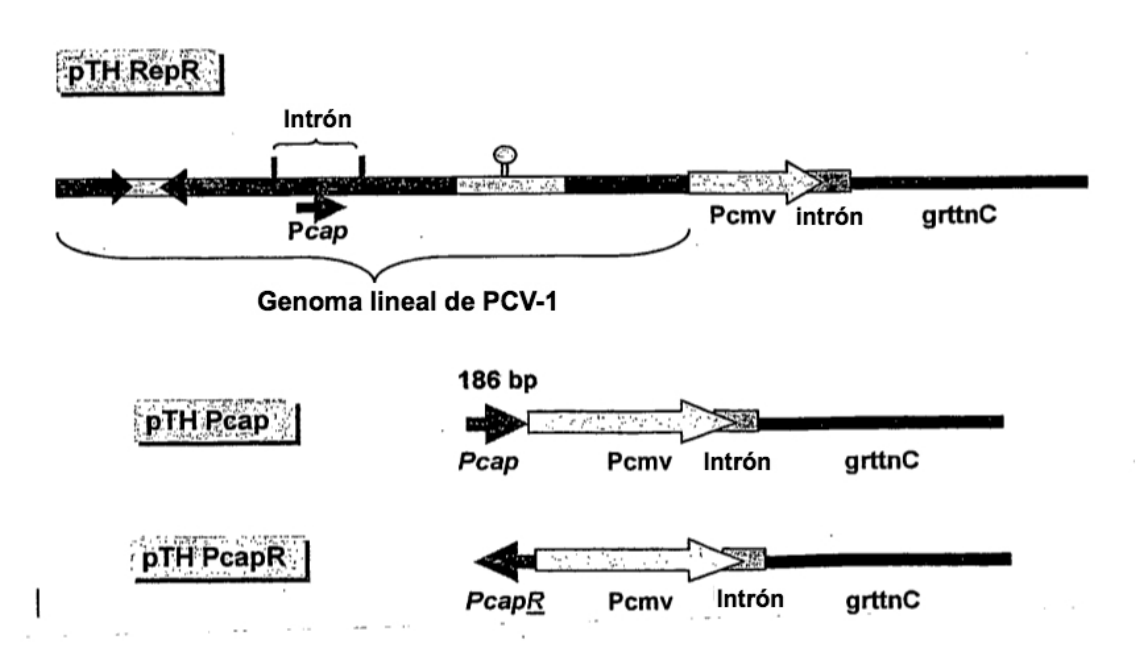
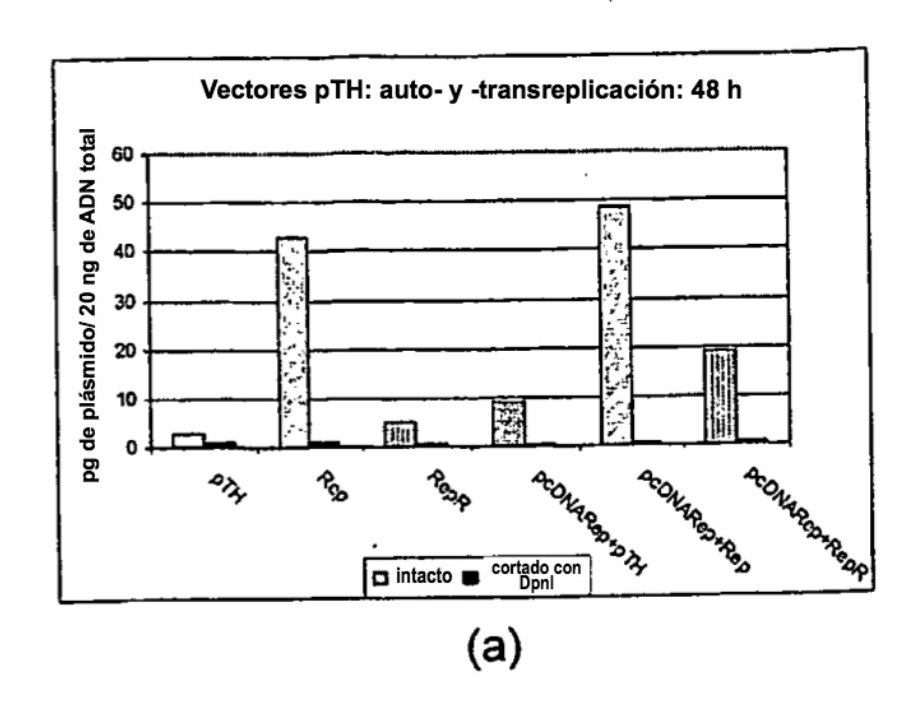


Fig. 1 (b)



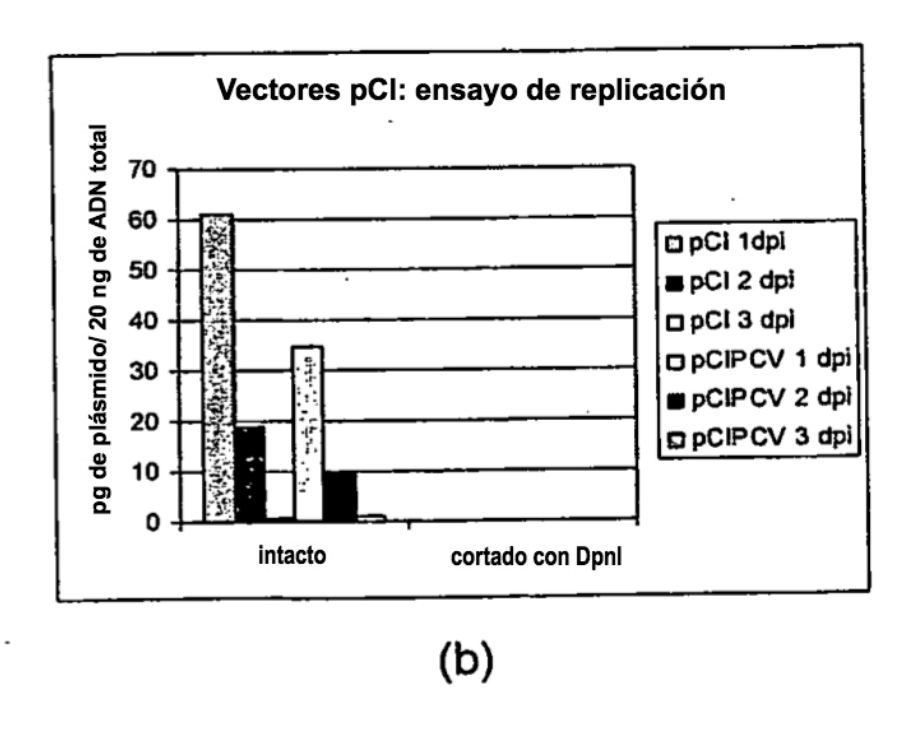


Fig. 2

- Prep: diferenciar la replicación del efecto del promotor
- La replicación necesita las proteínas Rep y Rep' codificadas por el gen rep
- Ambas se fijan a Prep: sólo Rep puede inhibir a Prep



Fig. 3

pTHARoportinC pTHReportinC 3 dnl 3dp

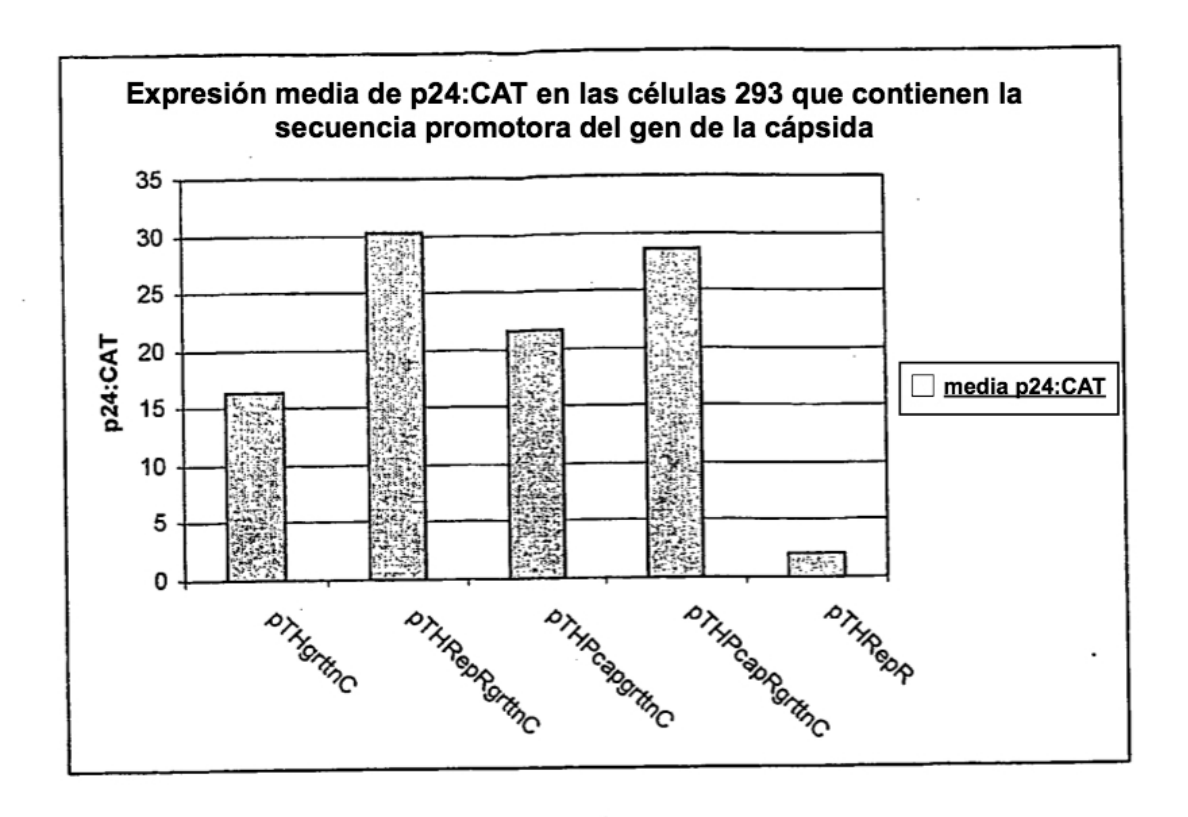


Fig. 4

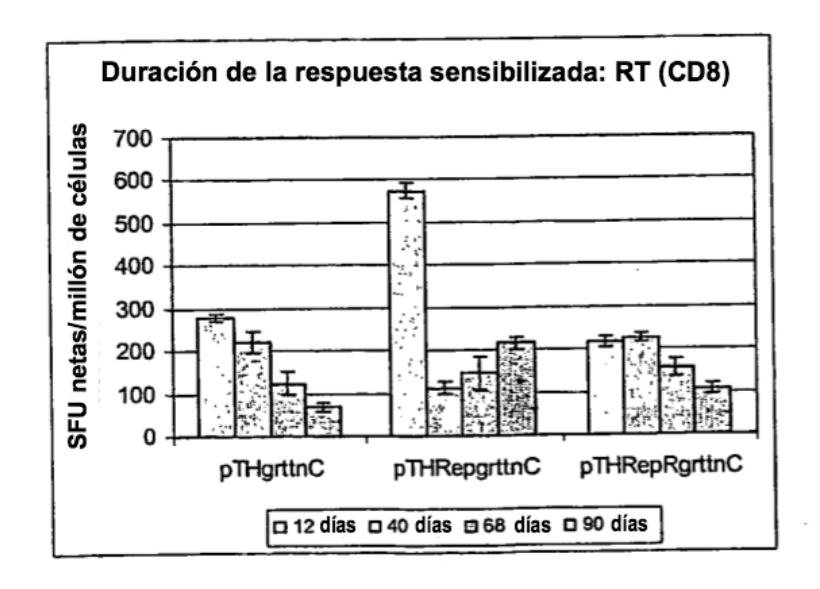


Fig. 5

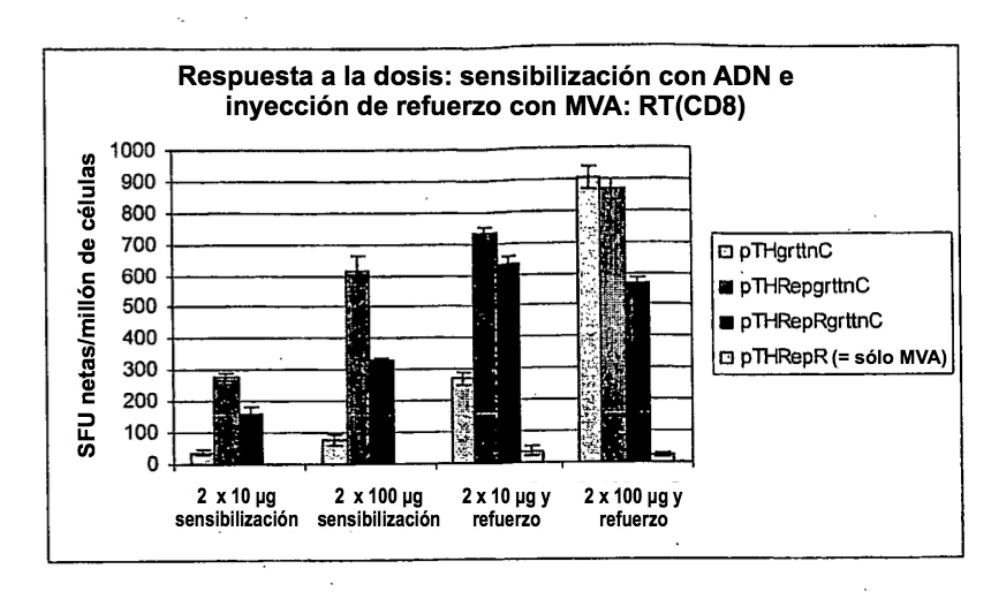


Fig. 6

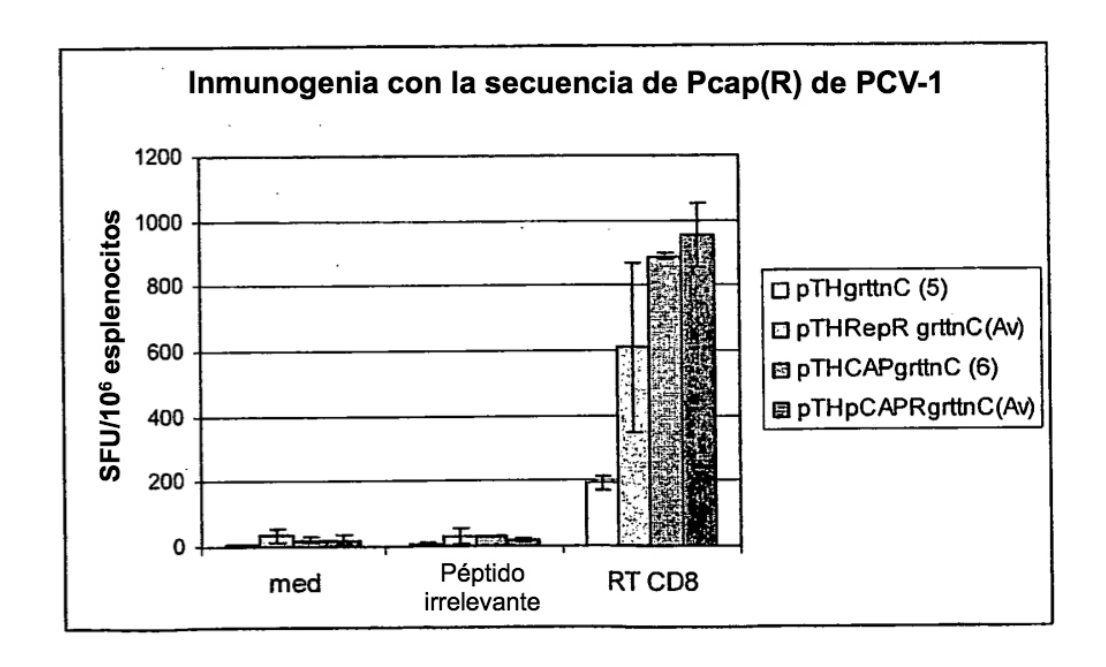


Fig. 7

### SEQ Pcap: 190 pb

#### ORIGEN

1	ACTAGTAGGT	GTCGCTAGGC	TCAGCAAAAT	TACGGGCCCA	CTGACTCTTC	CCACAACCGG
61	GCGGGCCCAC	TATGACGTGT	ACAGCTGTCT	TCCAATCACG	CTGCTGCATC	TTCCCGCTCA
121	CTTTCAAAAG	TTCAGCCAGC	CCGCGGAAAT	TTCTCACATA	CGTTACAGGG	AACTGCTCCA
181	TATGACTAGT					

### Fig. 8

SEQ PcapR: 190 pb;

#### ORIGEN

1	ACTAGTCATA	TGGAGCAGTT	CCCTGTAACG	TATGTGAGAA	<b>ATTTCC</b> GCGG	GCTGGCTGAA
61	CTTTTGAAAG	TGAGCGGGAA	GATGCAGCAG	CGTGATTGGA	AGACAGCTGT	ACACGTCATA
121	GTGGGCCCGC	CCGGTTGTGG	GAAGAGTCAG-	TGGGCCCGTA	ATTTTGCTGA	GCCTAGCGAC
181	ACCTACTAGT			,	·.	

### Fig. 9

SEQ grttnC: 3687 pb

#### ORIGEN

1	AAGCTTGCCA	CCATGGCTGC	TCGCGCATCT	ATCCTCAGAG	GCGAAAAGTT	GGATAAGTGG	
61	GAAAAAATCA	GACTCAGGCC	AGGAGGTAAA	AAACACTACA	TGCTGAAGCA	TATCGTGTGG	
121	GCATCTAGGG	AGTTGGAGAG	ATTTGCACTG	AACCCCGGAC	TGCTGGAAAC	CTCAGAGGGC	
181	TGTAAGCAAA	TCATGAAACA	GCTCCAACCA	GCCTTGCAGA	CCGGAACAGA	AGAGCTGAAG	
241	TCCCTTTACA	ATACCGTGGC	AACCCTCTAT	TGCGTCCACG	AGAAGATCGA	GGTGAGAGAC	
301	ACAAAGGAGG	CCCTGGACAA	AATCGAGGAG	GAGCAGAATA	AGTGCCAGCA	GAAGACCCAG	•
361	CAGGCAAAGG	CTGCTGACGG	AAAGGTCTCT	CAGAACTATC	CTATCGTTCA	GAACCTTCAG	
421	GGGCAGATGG	TGCACCAAGC	AATCAGCCCT	AGAACCCTGA	ACGCATGGGT	GAAGGTGATC	
481	GAGGAGAAAG	CCTTTTCTCC	CGAGGTTATC	CCCATGTTTA	CCGCCCTGAG	CGAAGGCGCC	
541	ACTCCTCAAG	ACCTGAACAC	TATGCTGAAC	ACAGTGGGAG	GACACCAGGC	CGCTATGCAG	
601	ATGTTGAAGG	ATACCATCAA	CGAGGAGGCA	GCCGAATGGG	ACCGCCTCCA	CCCCGTGCAC	
661 .	GCCGGACCTA	TCGCCCCCGG	ACAAATGAGA	GAACCTCGCG	GAĄGTGATAT	TGCCGGTACT	
721	ACCAGCACCC	TTCAAGAGCA	GATTGCTTGG	ATGACCAGCA	ACCCACCCAT	CCCAGTGGGC	•
781	GATATTTACA	AAAGGTGGAT	TATTCTGGGG	CTGAACAAAA	TTGTGÅGAAT	GTACTCCCCC	
841	GTCTCCATCC	TCGACATCCG	CCAAGGACCC	AAGGAGCCTT	TTAGGGATTA	CGTGGACAGA	
901	TTCTTCAAAA	CCCTTAGAGC	TGAGCAAGCC	ACTCAGGAGG	TTAAGAACTG	GATGACAGAT	
961	ACTCTGCTCG	TGCAAAACGC	TAACCCCGAT	TGCAAAACCA	TCTTGAGAGC	TCTCGGTCCA	
1021.					TGGGAGGACC		
1081					GCAATATCAT		
1141	AGTAACTTTA	AGGGTCCCAG	GAGAATCGTC	AAGTGCTTCA	ATTGTGGCAA	GGAGGGTCAC	
1201	ATTGCCAGGA	ACTGCCGCGC	CCCCAGGAAG	AAAGGCTGCT	GGAAGTGTGG	CAAAGAGGGC	
1261	CACCAGATGA	AGGATTGCAC	CGAGCGCCAA	GCAAACTTCC	TGGGAAAGAT	TTGGCCCAGT	
1321	CATAAGGGCC	GCCCTGGCGA	ATTCTGCGGC	AAGAAGGCCA	TCGGCACCGT	GCTGGTGGGC	
1381	CCCACCCCCG	TGAACATCAT	CGGCCGGAAC	ATGCTGACCC	AGCTGGGCTG	CACCCTGAAC	
1441	TTCCCCATCA	GCCCCATCGA	GACCGTGCCC	GTGAAGCTGA	AGCCCGGCAT	GGACGGCCCC	
1501	AAGGTGAAGC	AGTGGCCCCT	GACCGAGGTG	AAGATCAAGG	CCCTGACCGC	CATCTGCGAG	
1561	GAGATGGAGA	AGGAGGGCAA	GATCACCAAG	ATCGGCCCCG	AGAACCCCTA	CAACACCCCC	
1621	ATCTTCGCCA	TCAAGAAGGA	GGACAGCACC	AAGTGGCGGA	AGCTGGTGGA	CTTCCGGGAG	
1681	CTGAACAAGC	GGACCCAGGA	CTTCTGGGAG	GTGCAGCTGG	GCATCCCCCA	CCCCGCCGGC	
1741	CTGAAGAAGA	AGAAGAGCGT	GACCGTGCTG	GACGTGGGCG	ACGCCTACTT	CAGCGTGCCC	

1801	CTGGACGAGG	GCTTCCGGAA	GTACACCGCC	TTCACCATCC	CCAGCATCAA	CAACGAGACC
1861	CCCGGCATCC	GGTACCAGTA	CAACGTGCTG	CCCCAGGGCT	GGAAGGGCAG	CCCCGCCATC
1921	TTCCAGGCCA	GCATGACCAA	GATCCTGGAG	CCCTTCCGGG	CCAAGAACCC	CGAGATCGTG
1981	ATCTACCAGT	ACATGGCCGC	CCTGTACGTG	GGCAGCGACC	TGGAGATCGG	
2041	GCCAAGATCG	AGGAGCTGCG	GGAGCACCTG	CTGAAGTGGG	GCTTCACCAC	
2101		AGGAGCCCCC		ATGGGCTACG	AGCTGCACCC	CGACAAGTGG
2161	ACCGTGCAGC		GCCCGAGAAG		CCGTGAACGA	CATCCAGAAG
2221		AGCTGAACTG	GACCAGCCAG	ATCTACCCCG	GCATCAAGGT	
2281	TGCAAGCTGC	TGCGGGGCAC	CAAGGCCCTG	ACCGACATCG	TGCCCCTGAC	
2341	GAGCTGGAGC	TGGCCGAGAA	CCGGGAGATC	CTGAAGGAGC		
2401		AGGACCTGAT	CGCCGAGATC	CAGAAGCAGG	GCGACGACCA	
2461		AGGAGCCCTT	CAAGAACCTG	AAAACCGGCA	AGTACGCCAA	GCGGCGGACC
2521	ACCCACACCA	ACGACGTGAA	GCAGCTGACC	GAGGCCGTGC	AGAAGATCAG	
2581	ATCGTGACCT	GGGGCAAGAC	CCCCAAGTTC			GACCTGGGAG
2641	ATCTGGTGGA	CCGACTACTG	GCAGGCCACC	TGGATCCCCG	AGTGGGAGTT	CGTGAACAGC
2701	GGCCGCAAGC			AGCTACGGCC	GCAAGAAGCG	CCGCCAGCGC
2761	CGCAGCACCC	CGCCCAGCAG	CGAGGACCAC	CAGAACCCCA		GCCCTGCCC
2821	CAGACCCGCG	GCGACCCCAC	CGGCAGCGAG	GAGAGCAAGA	AGAAGGTGGA	GAGCAAGACC
2881	AAGACCGACC			AGCTACCACT	GTCTGGTGTG	CTTCCAGACC
2941	AAGGGCCTGG	GCATCTCCTA	CGGGCGCAAG	AAACGGATGG		CCCCAACCTG
3001	GAGCCCTGGA	ACCACCCCGG	CAGCCAGCCC	AACACCCCCT		CTACTGCAAA
3061	TACTGCTCCT	ACCACTGCCT	CGTGGTGGGC	TGGCCCGCCG		CATCCGCCGC
3121	ACCGAGCCCG	CCGCCGAGGG			ACCTGGACAA	
3181	CTGACCAGCA	GCAACACCGC	CCACAACAAC	CCCGACTGCG		GGCCCAGGAG
3241	GAGGAGGAGG	ACGTGGGCTT	CCCCGTGCGC	CCCCAGGTGC	CCCTGCGCCC	CATGACCTAC
3301	AAGGCCGCCT	TCGACCTGAG			GCGGCCTGGA	GGGCCTGATC
3361	CACAGCAAGC	GCCGCCAGGA	CATCCTGGAC			GGGCTACTTC
3421	CCCGACTGGC	AGAACTACAC			ACCCCTGAC	
3481	TGCTTCAAGC	TGGTGCCCGT				GGGCGAGAAC
3541		TGCACCCCAT		GGCATGGAGG	ACGCCGACCG	CGAGGTGCTG
3601		TCGACAGCAG		CGCCACCTGG	CCCGCGAGAA	GCACCCGAG
3661	TACTACAAGG	ACTGAGAATT	CTCTAGA			

## Fig. 10

SEQ: PCV-1: 1783 pb

#### ORIGEN

OKIGEN						
1	<b>ACTAGT</b> CTCG	ACATTGGTGT	GGGTATTTAA	ATGGAGCCAC		
61	TGGCTGGAAC	CAATCAATTG	TTTGGTCCAG	CTCAGGTTTG	00001011101	
121	GTAGGTAAAG	GGCTGCCTTA	TGGTGTGGCG	GGAGGAGTAG	TTAATATAGG	GGTCATAGGC
181	CAAGTTGGTG	GAGGGGGTTA	CAAAGTTGGC	ATCCAAGATA	ACAGCAGTGG	ACCCAACACC
241	TCTTTGATTA	GAGGTGATGG	GGTCTCTGGG	GTAAAATTCA	TATTTAGCCT	TTCTAATACG
301	GTAGTATTGG	AAAGGTAGGG	GTAGGGGGTT	GGTGCCGCCT	GAGGGGGGA	GGAACTGGCC
361	GATGTTGAAT	CTGAGCTGGT	TAACATTCCA	AGATGGCTGC	GAGTGTCCTC	CTTCTATGGT
421	GAGTACAAAT	TCTCTAGAAA	GGCGGCAATT	GAAGATACCC	GTCTTTCGGC	GCCATCTGTA
481	ACGGTTTCTG	AAGGCGGGGT	GTGCCAAATA	TGGTCTTCTG	CGGAGGATGT	TTCCAAGATG
541	GCTGCGGGGG	CGGGTCCTTC	TTCTGCGGTA	ACGCCTCCTT	GGCCACGTCA	TCCTATAAAA
601	GTGAAAGAAG	TGCGCTGCTG	TAGTATTACC	AGCGCACTTC	GGCAGCGGCA	GCACCTCGGC
661	AGCGTCGGTG	AAAATGCCAA	GCAAGAAAAG	CGGCCCGCAA	CCCCATAAGA	GGTGGGTGTT
721	CACCCTTAAT	AATCCTTCCG	AGGAGGAGAA	AAACAAAATA	CGGGAGCTTC	CAATCTCCCT
781	TTTTGATTAT	TTTGTTTGCG	GAGAGGAAGG	TTTGGAAGAG	GGTAGAACTC	CTCACCTCCA
841	GGGGTTTGCG	AATTTTGCTA	AGAAGCAGAC	TTTTAACAAG	GTGAAGTGGT	ATTTTGGTGC-
901					AATAAAGAAT	
961					CGGAACCAGG	
1021					TCTTTGGTGA	

1081	GCAGTTCCCT	GTAACGTATG	TGAGAAATTT	CCGCGGGCTG	GCTGAACTTT	TGAAAGTGAG
1141	CGGGAAGATG	CAGCAGCGTG	ATTGGAAGAC	AGCTGTACAC	GTCATAGTGG	GCCCGCCCGG
1201	TTGTGGGAAG	AGCCAGTGGG	CCCGTAATTT	TGCTGAGCCT	AGCGACACCT	ACTGGAAGCC
1261	TAGTAGAAAT	AAGTGGTGGG	ATGGATATCA	TGGAGAAGAA	GTTGTTGTTT	TGGATGATTT
1321	TTATGGCTGG	TTACCTTGGG	ATGATCTACT	GAGACTGTGT	GACCGGTATC	CATTGACTGT
1381	AGAGACTAAA	GGGGGTACTG	TTCCTTTTTT	GGCCCGCAGT	ATTTTGATTA	CCAGCAATCA
1441		GAATGGTACT				
1501	GATTACTACT	TTGCAATTTT	GGAAGACTGC	TGGAGAACAA	TCCACGGAGG	TACCCGAAGG
1561	CCGATTTGAA	GCAGTGGACC	CACCCTGTGC	CCTTTTCCCA	TATAAAATAA	ATTACTGAGT
1621	CTTTTTTGTT	ATCACATCGT	AATGGTTTTT	ATTTTTATTC	ATTTAGAGGG	TCTTTTAGGA
1681	TAAATTCTCT	GAATTGTACA	TAAATAGTCA	GCCTTACCAC	ATAATTTTGG	GCTGTGGCTG
1741	CATTTTGGAG	CGCATAGCCG	AGGCCTGTGT	GACAATCACT	AGT	

Fig. 11

SEQ: Complemento inverso de PCV-1: 1783 pb

#### ORIGEN

1	<b>ACTAGT</b> GATT	GTCACACAGG	CCTCGGCTAT	GCGCTCCAAA		
61	TATGTGGTAA	GGCTGACTAT	TTATGTACAA	TTCAGAGAAT	TTATCCTAAA	
121	AATGAATAAA	AATAAAAACC	ATTACGATGT	GATAACAAAA		AATTTATTTT.
181	ATATGGGAAA	AGGGCACAGG	GTGGGTCCAC	TGCTTCAAAT	CGGCCTTCGG	GTACCTCCGT
241	GGATTGTTCT	CCAGCAGTCT	TCCAAAATTG	CAAAGTAGTA		AGAGAGCTTC
301	TACAGCTGGG	ACAGCAGTTG	AGGAGTACCA	TTCCTGGGGG		TGGTAATCAA
361	AATACTGCGG	GCCAAAAAAG	GAACAGTACC	CCCTTTAGTC		ATGGATACCG
421	GTCACACAGT	CTCAGTAGAT	CATCCCAAGG	TAACCAGCCA	TAAAAATCAT	CCAAAACAAC
481	AACTTCTTCT	CCATGATATC	CATCCCACCA	CTTATTTCTA		AGTAGGTGTC
541	GCTAGGCTCA	GCAAAATTAC	GGGCCCACTG	GCTCTTCCCA		GGCCCACTAT
601	GACGTGTACA	GCTGTCTTCC	AATCACGCTG	CTGCATCTTC	CCGCTCACTT	TCAAAAGTTC
661	AGCCAGCCCG	CGGAAATTTC	TCACATACGT	TACAGGGAAC	TGCTCGGCTA	
721	AGACCCCGTC	TCCAAAAGGG	TACTCACAGC	AGTAGACAGG	TCGCTGCGCT	TCCCCTGGTT
781	CCGCGGAGCT	CCACACTCGA	TAAGTATGTG	GCCTTCTTTA		AGTATTCTTT
841	ATTCTGCTGG	TCGGTTCCTT	TCGCTTTCTC	GATGTGGCAG		AATACCACTT
901 '	CACCTTGTTA	AAAGTCTGCT		ATTCGCAAAC		GAGGAGTTCT
961	ACCCTCTTCC	AAACCTTCCT		AAAATAATCA		
1021	CCGTATTTTG	TTTTTCTCCT	CCTCGGAAGG	ATTATTAAGG		ACCTCTTATG
1081	GGGTTGCGGG	CCGCTTTTCT	TGCTTGGCAT	TTTCACCGAC	GCTGCCGAGG	TGCTGCCGCT
1141	GCCGAAGTGC	GCTGGTAATA	CTACAGCAGC	GCACTTCTTT	CACTTTTATA	GGATGACGTG
1201	GCCAAGGAGG	CGTTACCGCA	GAAGAAGGAC	CCGCCCCCGC	AGCCATCTTG	GAAACATCCT
1261	CCGCAGAAGA	CCATATTTGG	CACACCCCGC	CTTCAGAAAC	CGTTACAGAT	GGCGCCGAAA
1321	GACGGGTATC	TTCAATTGCC	GCCTTTCTAG	AGAATTTGTA		AAGGAGGACA
1381	CTCGCAGCCA	TCTTGGAATG	TTAACCAGCT	CAGATTCAAC		TCCTCCCCC
1441	CTCAGGCGGC	ACCAACCCCC	TACCCCTACC	TTTCCAATAC		
1501	ATATGAATTT	TACCCCAGAG	ACCCCATCAC	CTCTAATCAA		GGTCCACTGC
1561	TGTTATCTTG	GATGCCAACT	TTGTAACCCC	CTCCACCAAC	TTGGCCTATG	
1621	TAACTACTCC	TCCCGCCACA				GGTACTTCAC
1681	CCCCAAACCT			TTGGTTCCAG		AAAGAAACCA
1741	GCTGTGGCTC	CATTTAAATA	CCCACACCAA	TGTCGAGACT	AGT	

Fig. 12

 $_{\mbox{\scriptsize SEQ}}$  pTH - sin inserto: 4912 pb  $_{\mbox{\scriptsize ORIGEN}}$ 

	1	GACGGATCGG	GAGATCTCCC	GATCCCCTAT	GGTCGACTCT	CAGTACAATC	TGCTCTGATG
	61	CCCCATAGTT	AAGCCAGTAT	CTGCTCCCTG	CTTGTGTGTT	GGAGGTCGCT	GAGTAGTGCG
	121	CGAGCAAAAT	TTAAGCTACA	ACAAGGCAAG	GCTTGACCGA	CAATTGCATG	AAGAATCTGC
	181	TTACCCTTAC	GCGTTTTGCG	CTGCTTCGCG	ATGTACGGGC	CAGATATACG	CGTTTTGAGA
	241	TTTCTCTCCC	CGACTAAATT	CATGTCGCGC	GATAGTGGTG	TTTATCGCCG	ATAGAGATGG
	301	CCATATTGGA	AAAATCGATA	TTTGAAAATA	TGGCATATTG	AAAATGTCGC	CGATGTGAGT
	361	TTCTCTCTAA	CTGATATCGC	CATTTTTCCA	AAAGTGATTT	TTGGGCATAC	GCGATATCTG
	421.	CCCATACCCC	TTATATCGTT	TACGGGGGAT	GGCGATAGAC	GACTTTGGTG	ACTTGGGCGA
		TTCTCTCTCT	CGCAAATATC	GCAGTTTCGA	TATAGGTGAC	AGACGATATG	AGGCTATATC
	481	CCCCATACAG	GCGACATCAA	GCTGGCACAT	GGCCAATGCA	TATCGATCTA	TACATTGAAT
	541	CANTAGEC	CATTAGCCAT	ATTATTCATT	GGTTATATAG	CATAAATCAA	TATTGGCTAT
	601	TCCCCATTCC	ATACGTTGTA	TCCATATCAT	AATATGTACA	TTTATATTGG	CTCATGTCCA
	661	A CARTA CCCC	CATGTTGACA	TTGATTATTG	ACTAGTTATT	AATAGTAATC	AATTACGGGG
	721	MCATTACCGC	ATAGCCCATA	TATGGAGTTC	CGCGTTACAT	AACTTACGGT	AAATGGCCCG
	781	TCATTAGTTC	CGCCCAACGA	CCCCCCCCA	TTGACGTCAA	TAATGACGTA	TGTTCCCATA
	841	CCTGGCTGAC	TAGGGACTTT	CCATTCACCT	CAATGGGTGG	AGTATTTACG	GTAAACTGCC
	901	GTAACGCCAA	TACATCAAGT	CTATCATATC	CCAAGTACGC	CCCCTATTGA	CGTCAATGAC
	961	CACTTGGCAG	CCGCCTGGCA	TTATCCCCAC	TACATCACCT	TATEGERACTT	TCCTACTTGG
	1021	GGTAAATGGC	ACGTATTAGT	CATCCCTATT	ACCATGGTGA	TGCGGTTTTG	GCAGTACATC
	1081	CAGTACATCT	GATAGCGGTT	TCACCCCACCC	CCATTTCCAA	GTCTCCACCC	CATTGACGTC
	1141	AATGGGCGTG	TGTTTTGGCA	CCANAMECAA	CCCCACTTTC	CAAAATGTCG	TAACAACTCC
	1201	AATGGGAGTT	CGCAAATGGG	CCAAAATCAA	CTACCCTCCC	ACCTCTATAT	AAGCAGAGCT
	1261	GCCCCATTGA	CGCAAATGGG	CGGTAGGCGT	CCCCATCCAC	CCTCTTTTCA	CCTCCATAGA
	1321	CGTTTAGTGA	ACCGTCAGAT	CGCCTGGAGA	CCCCAACCCT	CCATTCCAAC	CCGCATTCCC
	1381	AGACACCGGG	ACCGATCCAG	CCTCCGCGGC	T CT CTCTT TO	CCCCCACCCC	CTTCCCTTCT
	1441	CGTGCCAAGA	GTGACGTAAG	TACCGCCTAT	AGAGICIAIA	CCCCCTTCCT	CATGTTATAG
	1501	TATGCATGCT	ATACTGTTTT	TGGCTTGGGG	TCTATACACC	ADDATECT	ACTCCCCTAT
	1561	GTGATGGTAT	AGCTTAGCCT	ATAGGTGTGG	GTTATTGACC	ATTATTGACC	CTCTCTTTAT
	1621	TGGTGACGAT	ACTTTCCATT	ACTAATCCAT	AACATGGCTC	TTTGCCACAA	CICICITIAL
	1681	TGGCTATATG	CCAATACACT	GTCCTTCAGA	GACTGACACG	GACTCTGTAT	TTTTACAGGA
	1741	TGGGGTCTCA	TTTATTATTT	ACAAATTCAC	ATATACAACA	CCACCGTCCC	TTTCCCCA CAT
	1801	AGTTTTTATT	AAACATAACG	TGGGATCTCC	ACGCGAATCT	CGGGTACGTG	TICCGGACAI
	1861	GGGCTCTTCT	CCGGTAGCGG	CGGAGCTTCT	ACATCCGAGC	CCTGCTCCCA	TGCCTCCAGC
	1921	GACTCATGGT	CGCTCGGCAG	CTCCTTGCTC	CTAACAGTGG	AGGCCAGACT	TAGGCACAGC
	1981	ACGATGCCCA	CCACCACCAG	TGTGCCGCAC	AAGGCCGTGG	CGGTAGGGTA	TGTGTCTGAA
	2041	AATGAGCTCG	GGGAGCGGGC	TTGCACCGCT	GACGCATTTG	GAAGACTTAA	GGCAGCGGCA
	2101	GAAGAAGATG	CAGGCAGCTG	AGTTGTTGTG	TTCTGATAAG	AGTCAGAGGT	AACTCCCGTT
	2161	GCGGTGCTGT	TAACGGTGGA	GGGCAGTGTA	GTCTGAGCAG	TACTCGTTGC	TGCCGCGCGC
	2221	GCCACCAGAC	ATAATAGCTG	ACAGACTAAC	AGACTGTTCC	TTTCCATGGG	TCTTTTCTGC
	2281	ACTCACCGTC	CTTGACACG	BACCTIGGTAC	: CGAGCTCGGA	TCCACTAGTA	ACGGCCGCCA
	2341	CTCTCCTCCA	ATTCTGCAGA	TATCCATCAC	ACTGGCGGCC	GCTCGAGCAT	GCATCTAGAG
	2401	CCCCTATTC	TATAGTGTCA	CCTAAATGCT	AGAGCTCGCT	GATCAGCCTC	GACTGTGCCT
	2461	TCTAGTTGCC	AGCCATCTGT	TGTTTGCCCC	TCCCCCGTGC	CTTCCTTGAC	CCTGGAAGGT
	2521	CCCACTCCCA	CTGTCCTTTC	CTAATAAAAI	GAGGAAATTO	CATCGCATTG	TCTGAGTAGG
	2581	TCTCTTTTTTTTTTTTTTTTTTTTTTTTTTTTTTTTT	TTCTGGGGGG	TGGGGTGGG	CAGGACAGCA	A AGGGGGAGGA	TTGGGAAGAC
	2641	AATAGCAGGC	ATGCTGGGG	TGCGGTGGGC	: TCTATGGCT	CTGAGGCGGA	AAGAACCAGC
	2701	TEGGGCTCGA	GGGGGGATCG	ATCCCGTCGF	CCTCGAGAG(	: TTGGCGTAAI	CATGGTCATA
	2761	CCTCTTTCCT	CTGTGAAATI	GTTATCCGCT	CACAATTCC	A CACAACATAC	GAGCCGGAAG
	2821	CATAAAGTGT	PAAGCCTGGG	GTGCCTAATO	AGTGAGCTA!	A CTCACATTAP	A TTGCGTTGCG
	2881	CTCACTGCCC	GCTTTCCAGT	CGGGAAACCI	GTCGTGCCA(	G CTGCATTAAT	GAATCGGCCA
	2941	ACCCCCCCCC	ACAGGCGGT1	TGCGTATTGC	GCGCTCTTC	C GCTTCCTCGC	TCACTGACTC
	3001	CCTCCCCCTCC	GTCGTTCGGC	TGCGGCGAG	GGTATCAGC	CACTCAAAGO	G CGGTAATACG
	3061	CTTATCCACA	GAATCAGGG	ATAACGCAG	-AAAGAACAT(	G TGAGCAAAAC	GCCAGCAAAA
-	3121	CCCCACCAA	CGTAAAAAGG	G CCGCGTTGCT	r GGCGTTTTT(	C CATAGGCTC	GCCCCCTGA
	3121	CCACCAGGAAC	AAAAATCGAC	GCTCAAGTC	A GAGGTGGCG	AACCCGACAC	GACTATAAAG
	2101	CONGCATOR	, muunicon			-	

3241	ATACCAGGCG	TTTCCCCCTG	GAAGCTCCCT	CGTGCGCTCT	CCTGTTCCGA	CCCTGCCGCT
3301	TACCGGATAC	CTGTCCGCCT	TTCTCCCTTC	GGGAAGCGTG	GCGCTTTCTC	AATGCTCACG
3361	CTGTAGGTAT	CTCAGTTCGG	TGTAGGTCGT	TCGCTCCAAG	CTGGGCTGTG	TGCACGAACC
3421	CCCCGTTCAG	CCCGACCGCT	GCGCCTTATC	CGGTAACTAT	CGTCTTGAGT	CCAACCCGGT
3481	AAGACACGAC	TTATCGCCAC	TGGCAGCAGC	CACTGGTAAC	AGGATTAGCA	GAGCGAGGTA
3541	TGTAGGCGGT	GCTACAGAGT	TCTTGAAGTG	GTGGCCTAAC	TACGGCTACA	CTAGAAGGAC
3601	AGTATTTGGT	ATCTGCGCTC	TGCTGAAGCC	AGTTACCTTC	GGAAAAAGAG	TTGGTAGCTC
3661	TTGATCCGGC	AAACAAACCA	CCGCTGGTAG	CGGTGGTTTT	TTTGTTTGCA	
3721	TACGCGCAGA	AAAAAAGGAT	CTCAAGAAGA	TCCTTTGATC	TTTTCTACGG	GGTCTGACGC
3781	TCAGTGGAAC	GAAAACTCAC	GTTAAGGGAT	TTTGGTCATG	AGATTATCAA	AAAGGATCTT
3841	CACCTAGATC	CTTTTAAATT	AAAAATGAAG	TTTTAAATCA	ATCTAAAGTA	TATATGAGTA
3901	AACTTGGTCT	GACAGTTACC	AATGCTTAAT	CAGTGAGGCA	CCTATCTCAG	CGATCTGTCT
3961	ATTTCGTTCA	TCCATAGTTG	CCTGACTCCC	CGTCGTGTAG	ATAACTACGA	TACGGGAGGG
4021	CTTACCATCT	GGCCCCAGTG			CCACGCTCAC	
4081	TTTATCAGCA	ATAAACCAGC	CAGCCGGAAG	GGCCGAGCGC	AGAAGTGGTC	CTGCAACTTT
4141	ATCCGCCTCC	ATCCAGTCTA	TTAATTGTTG	CCGGGAAGCT	AGAGTAAGTA	GTTCGCCAGT
4201	TAATAGTTTG	CGCAACGTTG			GTGGTGTCAC	
4261	TGGTATGGCT	TCATTCAGCT			CGAGTTACAT	
4321		AAAGCGGTTA			GTTGTCAGAA	GTAAGTTGGC
4381	CGCAGTGTTA	TCACTCATGG				TCATGCCATC
4441	CGTAAGATGC	TTTTCTGTGA	CTGGTGAGTA	CTCAACCAAG	TCATTCTGAG	AATAGTGTAT
4501	GCGGCGACCG	AGTTGCTCTT			1211100000	CACATAGCAG
4561	AACTTTAAAA	GTGCTCATCA				CAAGGATCTT
4621	ACCGCTGTTG	AGATCCAGTT	CGATGTAACC	CACTCGTGCA	CCCAACTGAT	CTTCAGCATC
4681	TTTTACTTTC	ACCAGCGTTT	CTGGGTGAGC	AAAAACAGGA	11000111111	CCGCAAAAAA
4741	GGGAATAAGG	GCGACACGGA		ACTCATACTC		AATATTATTG
4801	AAGCATTTAT	CAGGGTTATT	-		TTTGAATGTA	
4861	TAAACAAATA	GGGGTTCCGC	GCACATTTCC	CCGAAAAGTG	CCACCTGACG	TC

Fig. 13

#### SEQ: PCV1 Prep y rep sin el intrón: 752 pb

#### ORIGEN ATTCTCTAGA AAGGCGGCAA TTGAAGATAC CCGTCTTTCG GCGCCATCTG TAACGGTTTC TGAAGGCGGG GTGTGCCAAA TATGGTCTTC TCCGGAGGAT GTTTCCAAGA TGGCTGCGGE GGGGGTCCT TCTTCTGCGG TAACGCCTCC TTGGCAGCGG CAGCACCTCG GCAGCGTCAG 121 181 TGAAAATGCC AAGCAAGAAA AGCGGCCCGC AACCCCATAA GAGGTGGGTG TTCACCCTTA 241 ATAATCCTTC CGAGGAGGAG AAAAACAAAA TACGGGAGCT TCCAATCTCC CTTTTTGATT 301 ATTTTGTTTG CGGAGAGGAA GGTTTGGAAG AGGGTAGAAC TCCTCACCTC CAGGGGTTTG 361 CGAATTTTGC TAAGAAGCAG ACTTTTAACA AGGTGAAGTG GTATTTTGGT GCCCGCTGCC 421 ACATCGAGAA AGCGAAAGGA ACCGACCAGC AGAATAAAGA ATACTGCAGT AAAGAAGGCC 481 ACATACTTAT CGAGTGTGGA GCTCCGCGGA ACCAGGGGAA GCGCAGCGAC CTGTCTACTG 541 CTTATTTTGA TTACCAGCAA TCAGGCCCCC CAGGAATGGT ACTCCTCAAC TGCTGTCCCA 601 GCTGTAGAAG CTCTCTATCG GAGGATTACT ACTTTGCAAT TTTGGAAGAC TGCTGGAGAA 661 CAATCCACGG AGGTACCCGA AGGCCGATTT GA

Fig. 14

### ES 2 465 165 T3

# SEQ: PCV-1 con Prep/rep truncados: 150 pb ORIGEN

1	ATTCTCTAGA AAGGCGGCAA				
61	TGAAGGCGGG GTGTGCCAAA	TATGGTCTTC	TCCGGAGGAT	GTTTCCAAGA	TGGCTGCGG
121	GGCGGGTCCT TCTTCTGCGG	TAACGCCTCC	TTSSOCTOR	CATECTATAA	AAG
181	AGTGCGTATTA	CCAGCGCACT	TCGGCAG//A	TCAGGCCCCC	CAGGAATGGT
139	ACTECTCAAC TGCTGTCCCA	GCTGTAGAAG	CTCTCTATCG	GAGGATTACT	ACTTTGCAAT
199	TTTGGAAGAC TGCTGGAGAA	CAATCCACGG	AGGTACCCGA	AGGCCGATT <b>T</b>	GA

Fig. 15

#### Alineamiento de determinadas secuencias de ADN de circovirus equivalentes a la región PcapR de PCV-1

```
pcv-1
                           ---CTGTAGC CGAGCAGTTC CCTGTAACGT ATGTGAGAAA TTTCCGCGGG
pcv-2
                           ---CCGTTGC AGAGCAGCAC CCTGTAACGT TTGTCAGAAA TTTCCGCGGG
BFDV-AFG
                           -----CGC GCGAGAGTTC CCAGATATCT ACGTCAGGCA TGGGCGGGGC
CV_canario
                          -----CGC GCGAGAGTTC AGTGAGATCT ACGTCAAGTA TGGGCGTGGT
CV colúmbidos
                          -----TCGC GCGAGACTTC AGTGAGATAT ACGTCAAGTA TGGGCGTGGC
CV_pato
                          -TGAGGTGGC CCGGAAGTTC CCCACGACTT ATGTTATCTT TGGGCGTGGC
CV pinzón
                           ----TCGC GCGAGAGTTC AGTCTAGCCT ACGTCAGATA TGGGCGGGGC
CV_ganso
                          ----TGGC CCGGAAGTAC CCGACGACTT ATGTAATGTT TGGGCGGGGC
                           GTGAAATCGC GCGAGAGTTC AGTGAAGTCT ACGTCAAGTA TGGGCGGGGC
CV_gaviota
                           CTGGCTGAAC TTTTGAAAGT GAGCGGGAAG ATGCAGCAGC GTGATTGGAA
pcv-1
pcv-2_ CTGGCTGAAC TTTTGAAAGT GAGCGGGAAA ATGCAGCAGC GTGATTGGAA
BFDV-AFG TTACATAATC TCTCGCTAAT GGTTGGTTCC CGGCCA---C GTGACTTCAA
CV_canario CTGAGGGATT TGGCCCTGAT GATTGGACA AAACCC---C GTGACTTCAA
CV_colúmbidos TTGCGCGACC TGAAGCTGCT GATTGGTCAG CAGCCT---C GTGACTTCAA
CV_pato CTGGAACGCC TCCGTCACCT GATCGTTGAG ACGCAA---C GTGACTTCAA
CV_pinzón CTGCGTGATC TTGCGCTGCT GATTGGCCAG AAGCCC---C GTGACTTCAA
CV_ganso TTAGAGCGGT TGCGTCAGCT GATCGTGGAG ACCGCT---C GTGACTTCAA
                         CTCCGTGATC TCCGGTTGCT GATTGGTTGC CCGCCC---C GCGATTTCAA
CV_gaviota
pcv-1
                           GACAGCTGTA CACGTCATAG TGGGCCCGCC CGGTTGTGGG AAGAGCCAGT
pcv-2
                           GACTAATGTA CACGTCATTG TGGGGCCACC TGGGTGTGGT AAAAGCAAAT
BFDV-AFG GACTGATGT CACGTCATTG TGGGGCCACC TGGGTGTGGT AAAAGCAAAT
BFDV-AFG GACTGAGGT GACGTCATCT ACGGACCACC GGGGTGTGC AAGAGTAGAT
CV_canario GACGGAAGTC GTCGTCATCA CAGGGCCTTC CGGGGTGGGC AAGTCCCGAC
CV_pato GACCGAAGTC ATCGTCATCA CGGGCCCGC CGGTTGCGG AAGAGCCGTT
CV_pinzón AACGGAAGTC ATCGTTCTGA TTGGTCCGC CGGCACCGG AAGAGCCGTT
CV_ganso GACGGAGGTC ATCGTTCTGA TTGGGCGGC TGGAAGCGG AAGAGCCGTT
CV ganso
                         AACAGAAGTC ATCGTTCTGA TTGGCCCACC TGGCTGTGGC AAGTCAAAAT
CV_gaviota
pcv-1
                           GGGCCCGTAA TTTTGCTGAG CCTAGCGACA CCTACTGGAA GCC-
pcv-2
                           GGGCTGCTAA TTTTGCAGAC CCGGAAACCA CATACTGGAA ACC-
BFDV-AFG GGGCCAATGA GCAGCCGG-- -GGACCAAAT ATTATAAAAT GCG-
CV_canario TTGCCTCTGA AATGGAAG-- -GATCGAAGT TCTACAAG-- ---
CV_colúmbidos GGGCAGCTGA GTACCCCG-- -GAAGTAAAT TTTACAAGAT GA--
CV_pato ATTCCCGCC GAAAACAAGT ATTACAAACC ACGC
CV_pinzón
                           GGGCCAATGA ACAAGAAG-- -GAACTAAGT TTTATAAAAT GA--
                          ACGCGTTTGA ATTTCCCGCG CGTGAAAAGT ATTATAAAT- ----
CV_ganso
CV_gaviota
                          TGGCCAATGA GATGGAAG-- -GGTCTAAGT TCTACA----
```

Fig. 16 (a)

## Secuencias de ADN complementarias inversas de determinados circovirus. Las secuencias mostradas son equivalentes a la secuencia Pcap de PCV-1

PCV-1 GGCTTCCAGT AGGTGTCGCT AGGCTCAGCA AAATTACGGG CCCACTGGCT CTTCCCACAA CCGGGCGGGC CCACTATGAC GTGTACAGCT GTCTTCCAAT CACGCTGCTG CATCTTCCCG CTCACTTTCA AAAGTTCAGC CAGCCCGCGG AAATTTCTCA CATACGTTAC AGGGAACTGC TCGGCTACAG
PCV-2 GGTTTCCAGT ATGTGGTTTC CGGGTCTGCA AAATTAGCAG CCCATTTGCT TTTACCACAC CCAGGTGGCC CCACAATGAC GTGTACATTA GTCTTCCAAT CACGCTTCTG CATTTTCCCG CTCACTTTCA AAAGTTCAGC CAGCCCGCGG AAATTTCTGA CAAACGTTAC AGGGTGCTGC TCTGCAACGG
BFDV-AFG CGCATTTTAT AATATTTGGT CCCCGGCTGC TCATTGGCCC ATCTACTCTT GCCACACCCC GGTGGTCCGT AGATGACGTC GACCTCAGTC TTGAAGTCAC GTGGCCGGGA ACCAACCATT AGCGAGAGAT TATGTAAGCC CCGCCCATGC CTGACGTAGA TATCTGGGAA CTCTCGCGCG
CV de canario CTTGTAGAAC TTCGATCCTT CCATTTCAGA GGCAAGTCGG GACTTGCCCA CCCCGGAAGG CCCTGTGATG ACGACGACTT CCGTCTTGAA GTCACGGGGT TTCTGTCCAA TCATCAGGGC CAAATCCCTC AGACCACGCC CATACTTGAC GTAGATCTCA CTGAACTCTC GCGCG
CV de colúmbidos  TCATCTTGTA AAATTTACTT CCGGGGTACT CAGCTGCCCA ACGGCTCTTC CCGCAACCGG GCGGGCCCGT GATGACGATG ACTTCCGTTT TGAAGTCACG AGGCTGCTGA CCAATCAGCA GCTTCAGGTC GCGCAAGCCA CGCCCATACT TGACGTATAT CTCACTGAAG TCTCGCGCGA
CV de pato  GCGTGGTTTG TAATACTTGT TTTCGGCGGG AAATTCAAAT GCATAACGGC TCTTCCCGGT GCCGGGCGGA CCAATCAGAA CGATGACTTC GGTCTTCCAA TCACGTTGCG TCTCAACGAT CAGGTGACGG AGGCGTTCCA GGCCACGCCC AAAGATAACA TAAGTCGTGG GGAACTTCCG GGCCACCTCA
CV de pinzón TCATTTTATA AAACTTAGTT CCTTCTTGTT CATTGGCCCA GCGGGATTTG CCACACCCAC TAGGGCCGGT CAGCACTATG ACTTCCGTTT TGAAGTCACG GGGCTTCTGG CCAATCAGCA GCGCAAGATC ACGCAGGCCC CGCCCATATC TGACGTAGGC TAGACTGAAC TCTCGCGCGA
CV de ganso ATTTATAATA CTTTTCACGC GCGGGAAATT CAAACGCGTA ACGGCTCTTC CCGCTTCCAG GCCGCCCAAT CAGAACGATG ACCTCCGTCT TCCAATCACG AGCGGTCTCC ACGATCAGCT GACGCAACCG CTCTAAGCCC CGCCCAAACA TTACATAAGT CGTCGGGTAC TTCCGGGCCA
CV de gaviota  TGTAGAACTT AGACCCTTCC ATCTCATTGG CCAATTTTGA CTTGCCACAG CCAGGTGGGC CAATCAGAAC GATGACTTCT GTTTTGAAAT CGCGGGGCGG GCAACCAATC AGCAACCGGA GATCACGGAG GCCCCGCCCA TACTTGACGT AGACTTCACT GAACTCTCGC GCGATTTCAC

5

Fig. 16 (b)

### 1. Región Pcap de PCV-1

GCAGTTCC	CT GTAACGTAT	<	M00147 HSF2 M00147 HSF2 M00147 HSF2 M00146 HSF1 M00074 c-Ets-	Puntuación 91.0 88.5 87.3 86.6
451 GCTGAACTTT TGAAAGTGAG	CGGGAAGATG	CAGCAGCGTG ATTGGAAGAC	entrada <u>M00075</u> GATA-1 <u>M00109</u> C/EBPb	
501 AGCTGTACAC GTCATAGTGG	GCCCGCCCGG	TTGTGGGAAG AGCCAGTGGG	entrada M00223 STATX M00039 CREB	Puntuación 88.5 87.6
551 CCCGTAATTT	TGCTGAGCCT	AGCGACACCT ACTGGAAGCC	entrada M00032 c-Ets- M00101 CdxA	Puntuación - 89.2 85.7

### Fig. 17 (a)

### 2. Región Pcap de PCV-2

	CAGA	GCAGCACCCT	GTAACGTTTG	TCAGAAATTT	CCGCGGGCTG	entrad	a	Puntuación
	0.1011	• • • • • • • • • • • • • • • • • • • •		<		M00101	CdxA	93.6
				<		M00147	HSF2	91.0
				<		M00100	CdxA	89.7
					>	M00147	HSF2	88.5
					>	M00146	HSF1	87.3
				<		M00074	c-Ets-	86.6
				CD CD D CCCTC	ATTECCA ACAC	entrad	la	Puntuación
451	GCTGAACTTT	TGAAAGTGAG	CGGGAAAATG			M00075		
					>	M00073		90.8
		<-						
						M00101		
		>				M00109	C/EBPE	85.5
							1-	D
501	TAATGTACAC	GTCATTGTGG	GGCCACCTGG	GTGTGGTAAA	AGCAAATGGG	entrac		Puntuación
				>		M00271		100.0
	<					M00251		
	•				>	M00159	C/EBP	87.7
	<					M00039	CREB	87.6
	>					M00101	CdxA	86.4
					>	M00148	SRY	86.4
						M00162	Oct-1	85.7
	<							
	CTCCTT A TTTT	TGCAGACCCG	GAAACCACAT	ACTGGAAACC		entra	da	Puntuación
221	CIGCIAMITI	IGCNGACCCG	<			M00271	AML-1	a 100.0
			>				c-Ets	

Fig. 17 (b)

### 3. Virus de la enfermedad del pico y las plumas (African grey)-BFDV-AFG

CGAGAG TTCCCA	GATA entrada	Puntuación
	M00076 GATA-	2 90.1
<	M00087 Ik-2	89.5
	M00075 GATA-	1 86.9
<	M00050 E2F	86.2

```
--- M00157 RORalp 86.2
                                                                           M00147 HSF2 85.9
401 TCTACGTCAG GCATGGGCGG GGCTTACATA ATCTCTCGCT AATGGTTGGT entrada
                                                                                             Puntuación
                                                                              M00039 CREB 91.6
                                                                              M00045 E4BP4 90.7
M00228 VBP 90.7
                                    <-----
                                     ---->
                                                                              M00076 GATA-2 90.1
                                                                              M00008 Spl 89.0
                                                                              M00040 CRE-BP 89.0
                                                                           M00109 C/EBPb 88.7
                                  <-----
                                                                              M00260 HLF 88.2
                                                                              M00075 GATA-1 86.9
                                                                              M00040 CRE-BP 86.7
                                                                              M00157 RORalp 86.2
M00077 GATA-3 85.9
M00101 CdxA 85.7
                                           <----
451 TCCCGGCCAC GTGACTTCAA GACTGAGGTC GACGTCATCT ACGGACCACC entrada
                                                                                               Puntuación
                                                                                               97.9
95.1
94.5
                                                                              M00217 USF
                                                                               M00236 Arnt
                                                                               M00121 USF
                                                                              M00121 USF 94.5

M00122 USF 94.2

M00122 USF 94.2

M00039 CREB 93.6

M00217 USF 93.2
          <-----
                                                                               M00113 CREB 91.8
                                                                              M00271 AML-1a 88.7

M00055 N-Myc 88.7

M00119 Max 87.9

M00119 Max 87.9
                                                                               M00041 CRE-BP 87.2

M00041 CRE-BP 87.2

M00041 CRE-BP 86.9

M00041 CRE-BP 86.2

M00039 CRE-BP 86.1
                                               <----
                                               ---->
                                                                               M00055 N-Myc 85.9
M00039 CREB 85.6
M00039 CREB 85.6
                                               ---->
501 GGGGTGTGGC AAGAGTAGAT GGGCCAATGA GCAGCCGGGG ACCAAATATT entrada
                                                                                              Puntuación
                                                                        < M00101 CdxA 92.9
                                                                        --- M00101 CdxA 91.4

--- M00101 CdxA 91.4

-- M00252 TATA 91.4

M00075 GATA-1 87.3
                                                                           < M00100 CdxA 87.2
                                                              <----- M00131 HNF-3b 86.1
--- M00216 TATA 85.5</pre>
                                                                               M00083 MZF1 85.2
                                            Fig. 17 (c)
```

#### 

```
M00039 CREB 91.6
M00008 Sp1 89.0
M00240 Nkx-2. 88.4
                                    ____>
                                                              --- M00075 GATA-1 88.2
----> M00050 E2F 86.2
401 GATGATTGGA CAGAAACCCC GTGACTTCAA GACGGAAGTC GTCGTCATCA entrada
                                                                                          Puntuación
                          ----->
                                                                  M00025 Elk-1 88.7
                                                          M00075 GATA-1 88.2

M00075 GATA-1 87.8

M00113 CREB 87.7

M00041 CRE-BP 87.2
                                                                           M00217 USF 86.6
M00041 CRE-BP 86.2
M00039 CREB 86.1
M00039 CREB 85.6
                           ---->
                                 <----
                                  ---->
                                                                 rggaagga entrada Puntuación
----- M00147 HSF2 92.9
451 CAGGGCCTTC CGGGGTGGGC AAGTCCCGAC TTGCCTCTGA AATGGAAGGA entrada
                                                                           M00054 NF-kap 91.3
M00025 Elk-1 88.3
M00113 CREB 87.7
                                                                            M00032 c-Ets- 86.3
          <-----
                                                                            M00108 NRF-2 86.0
                                                                            M00208 NF-kap 85.7
                                                                            M00052 NF-kap 85.4
                            <-----
                                                                  ----- M00146 HSF1 85.1
M00053 c-Rel 85.1
       ---->
                                                                            entrada Puntuación

M00147 HSF2 92.9

M00146 HSF1 85.1
501 TCGAAGTTCT
     -->
```

Fig. 17 (d)

#### 5- Circovirus de los colúmbidos TCGCGCGAGA CTTCAGTGAG ATATACGTCA AGTATGGGCG entrada Puntuación <----> M00039 CREB 93.1 ----> M00240 Nkx-2. 88.4 501 TGGCTTGCGC GACCTGAAGC TGCTGATTGG TCAGCAGCCT CGTGACTTCA entrada Puntuación M00075 GATA-1 93.5 - M00074 c-Ets- 90.5 -- M00025 Elk-1 90.0 M00209 NF-Y 89.6 ----> -----> M00041 CRE-BP 87.2 M00096 Pbx-1 86.3 <----- M00041 CRE-BP 86.2 -----> M00039 CREB 86.1 -- M00003 v-Myb 85.9 <---- M00039 CREB 85.6 GAGCCGT entrada Puntuación <---- M00227 v-Myb 96.8 M00223 STATX 92.3 M00075 GATA-1 91.0 M00074 C-Pto 00.5 551 AAACGGAAGT CATCGTCATC ACGGGCCCGC CCGGTTGCGG GAAGAGCCGT entrada M00074 c-Ets- 90.5 M00025 Elk-1 90.0 M00108 NRF-2 87.7 ----> \_\_\_\_\_> ----> M00032 c-Ets- 86.3 ----M00003 v-Myb 85.9 601 TGGGCAGCTG AGTACCCCGG AAGTAAATTT TACA entrada Puntuación

	M00227 v-Myb 96.8
>	M00032 c-Ets- 95.1
>	M00074 c-Ets- 90.9
>	M00025 Elk-1 90.4

Fig. 17 (e)

#### 6. Circovirus del pato

```
TGAGGTGGCC CGGAAGTTCC entrada Puntuación
                                                       <-- M00083 MZF1 95.7
                                                     -----> M00035 Elk-1 92.6
----> M00032 c-Ets- 92.2
<----- M00054 NF-kap 91.6
                                                     -----> M00074 c-Ets- 90.1
<----- M00053 c-Rel 89.3
                                                           <---- M00052 NF-kap 88.7
                                                      -----> M00053 c-Rel 86.8
----> M00108 NRF-2 86.0
                                                                      G entrada Puntuación

M00083 MZF1 95.7
401 CCACGACTTA TGTTATCTTT GGGCGTGGCC TGGAACGCCT CCGTCACCTG entrada
                                                                 M00054 NF-kap 91.6
---- M00075 GATA-1 90.6
                                                           M00073 GATA-1 90.6
M00080 Evi-1 90.4
M000220 SREBP- 89.8
M00082 Evi-1 89.8
M00073 deltaE 89.6
M00079 Evi-1 89.4
M00053 C-Rel 89.3
                                                            MO0052 NF-kap 88.7
M00001 MyoD 88.4
M00101 CdxA 86.4
M00220 SREBP- 85.9
                                                           ----- M00122 USF 85.3
                                                           <---- M00122 USF
451 ATCGTTGAGA CGCAACGTGA TTGGAAGACC GAAGTCATCG TTCTGATTGG entrada
                                                                                       Puntuación
                                                                        M00075 GATA-1 92.2
M00075 GATA-1 90.6
                        ---->
                                                                        M00220 SREBP- 89.8
                                                                        M00073 deltaE 89.6
     ->
                                                                        M00001 MyoD 88.4
     ---
                                                            ----- M00075 GATA-1 87.8
<----- M00096 Pbx-1 86.3
                                                             M00220 SREBP- 85.9
M00209 NF-Y 85.9
     ->
                                                                        M00122 USF
                                                                                          85.3
                                                                         M00122 USF
                                                                                       Puntuación
501 TCCGCCCGGC ACCGGGAAGA GCCGTTATGC ATTTGAATTT CCCGCCGAAA entrada
                                                                       M00227 v-Myb 93.6
                                <----
                                                                     -- M00148 SRY
                                                                        M00050 E2F
                                                                                          90.8
                                                                         M00075 GATA-1 87.8
     >
                                                                         M00133 Tst-1 87.5
                                                                         M00096 Pbx-1 86.3
M00209 NF-Y 85.9
                 -----
                                                                         M00003 v-Myb 85.9
                                                                         entrada
                                                                                        Puntuación
551 ACAAGTATTA CA
                                                                         M00148 SRY
```

### Fig. 17 (f)

#### 7. Circovirus del pinzón

CCGTGAAAGC CGGAAGAGGT ATGGCCGAAG TCGCC	GCGAGA entrada Puntuación M00108 NRF-2 93.0 M00032 c-Ets- 88.2 M00050 E2F 86.2
	1100000 1121 0012
401 GTTCAGTCTA GCCTACGTCA GATATGGGCG GGGCCTGCGT GATCTTC	GCGC entrada Puntuación  M00039 CREB 91.6  M000128 GATA-1 91.5  M00077 GATA-3 89.1  M00008 Sp1 89.0  M00076 GATA-2 88.9
>	
	M00075 GATA-1 87.3
451 TGCTGATTGG CCAGAAGCCC CGTGACTTCA AAACGGAAGT CATAGTC	GCTG entrada Puntuación M00075 GATA-1 91.8 M00074 c-Ets- 90.5
	M00025 Elk-1 90.0
>	
>	M00209 NF-Y 89.4
>	M00108 NRF-2 87.7
>	M00041 CRE-BP 87.2
>	M00217 USF 86.6
	M00032 c-Ets- 86.3
>	
<	M00041 CRE-BP 86.2
>	M00039 CREB 86.1
>	M00003 v-Myb 85.9
<	M00039 CREB 85.6
501 ACCGGCCCTA GTGGGTGTGG CAAATCCCGC TGGGCCAATG AACAAG	AAGG entrada Puntuación
. <	M00054 NF-kap 88.8
. <	M00208 NF-kap 86.2
<	M00053 c-Rel 85.1
• ,,,,,,,,,,,,,,,,,,,,,,,,,,,,,,,,,,,,,	
551 AACTAAGTTT T	entrada Puntuación

Fig. 17 (g)

#### 8. Circovirus del ganso

<del></del>	
TGGTCTGCCG ATAACTGACG TGGCCCGG	AA entrada Puntuación
******	M00032 c-Ets- 95.1
	M00025 Elk-1 93.0
>	M00076 GATA-2 89.3
	M00074 c-Ets- 87.7
· <	M00053 c-Rel 86.8
>	M00127 GATA-1 86.7
>	M00075 GATA-1 86.5
>	M00039 CREB 86.1
401 GTACCCGACG ACTTATGTAA TGTTTGGGCG GGGCTTAGAG CGGTTGCGTC	entrada Puntuación
>	M00032 c-Ets- 95.1
>	M00045 E4BP4 93.1
	M00025 Elk-1 93.0
>	M00109 C/EBPb 90.6
<	M00228 VBP 89.8
>	M00008 Sp1 89.0

	 	> >	 	·>		M00040 M00074 M00141 M00053 M00040 M00116 M00101 M00072 M00039	C-Ets- Lyf-1 c-Rel CRE-BP C/EBPa CdxA CP2	87.7 87.0 86.8 86.7 86.5 86.4
	•							
-	CTGATCGT	·>	CGTGATTGGA	AGACGGAGGT		M00075 M00075 M00075 M00077 M00076	GATA-1 GATA-1 GATA-3	91.4 89.4 87.5 85.8
	TGGGCGGC	CTGGAAGCGG	GAAGAGCCGT <	TACGCGTTTG	AATTTCCCGC	M000227 M00050 M00075	v-Myb	96.3 90.8 89.4
	GTGAAAAG	TATTATAAAT < <>				M00100 M00101 M00101	a CdxA CdxA CdxA CdxA E2F	96.2 91.4 91.4

#### Fig. 17 (h)

### 

551 CTGTGGCAAG TCAAAATTGG CCAATGAGAT GGAAGGGTCT AAGTTCTACA entrada Puntuación

		 M00011	Evi-1	89.1
	>	M00147	HSF2	87.2
		M00073	deltaE	86.2
>		M00116	C/EBPa	85.3

### Fig. 17 (i)

Región	Peap of	<u>le PCV-1</u>

<del></del>		
GCAGTTCCCT GTAAC	CGTATG TGAGAAATTT CCGCGGGC	rg entrada Puntuación
1.1	<	M00147 HSF2 91.0
	>	M00147 HSF2 88.5
	>	M00146 HSF1 87.3
	<	M00074 c-Ets- 86.6
451 GCTGAACTTT TGAAAGTGAG CGGGAAG	GATG CAGCAGCGTG ATTGGAAGAC	M00075 GATA-1 92.2
>		M00109 C/EBPb 85.5
501 AGCTGTACAC GTCATAGTGG GCCCGCC	CCGG TTGTGGGAAG AGCCAGTGGG	M00223 STATx 88.5
<		M00039 CREB 87.6
551 CCCGTAATTT TGCTGA	GCCT AGCGACACCT ACTGGAAGCC	entrada Puntuación <u>M00032</u> c-Ets- 89.2 <u>M00101</u> CdxA 85.7

### Fig. 17 (j)

#### Región Pcap de PCV2

*	CAGA	GCAGCACCCT	GTAACGTTTG	TCAGAAATTT	CCGCGGGCTG	entrada	a I	Puntuación
				<		M00101	CdxA	93.6
		<			M00147	HSF2	91.0	
				<		M00100	CdxA	89.7
	>				M00147	HSF2	88.5	
	>			M00146	HSF1	87.3		
				<		M00074	c-Ets-	- 86.6
451	GCTGAACTTT	TGAAAGTGAG	CGGGAAAATG	CAGAAGCGTG	ATTGGAAGAC	entrad	a :	Puntuación
					>	M00075	GATA-1	
		<-				M00050		90.8
						M00101		
		>				M00109	C/EBP	o 85.5
501	TAATGTACAC	GTCATTGTGG	GGCCACCTGG		AGCAAATGGG	entrada	a 1	Puntuación
				>				a 100.0
	<					M00251		
					>	M00159		
	<					M00039		
	>					M00101		
				- · - · · · -	>	M00148		
	<					M00162	Oct-1	85.7
551	CTGCTAATTT	TGCAGACCCG	GAAACCACAT	ACTGGAAACC		entrad	a	Puntuación

-----> M00271 AML-1a 100.0 c-Ets- 86.3

Fig. 17 (k)